

## บทที่ 3

### ผลการวิจัย

#### 3.1 ผลการตรวจ COX บนผ้าในครอบนิสภาวะต่าง ๆ

##### 3.1.1 การกรายตุ้นผ้าในครอบด้วยไดเมกิล ชั้ลเฟต

เมื่อใช้เวลาต่างๆ กันในการกรายตุ้นผ้าในครอบด้วยไดเมกิล ชั้ลเฟตตามแผนการทดลอง ในข้อ 2.3.1.1 ได้ผลตามตารางที่ 3.1

ตารางที่ 3.1 ผลการกรายตุ้นผ้าในครอบด้วยไดเมกิล ชั้ลเฟตที่เวลาต่าง ๆ กัน

เวลาที่ใช้ (นาที)	ค่ากราฟแสกที่อ่านได้ (นาโนแอมป์) เมื่อจัดกลูโคสเข้มข้น 13 ppm
1	2,3
3	18, 16
5	25, 28
7	27, 28

เมื่อเพิ่มเวลากรายตุ้นผ้าในครอบด้วยไดเมกิล ชั้ลเฟตจาก 1 ถึง 5 นาที จะได้ COX ตรวจบนผ้าในครอบนี้แยกตัวตี่เพิ่มขึ้น แต่ถ้าเพิ่มเวลากรายตุ้นเป็น 7 นาที จะไม่ค่อยมีผลแตกต่าง จากที่เวลา 5 นาที จึงเลือกเวลา 5 นาทีในการกรายตุ้นผ้าในครอบทดลองการทดลองต่อไป

##### 3.1.2 การติดเชกชาเมกิลีนไดอะมีน

ประสบภาวะต่างๆ ในการติดเชกชาเมกิลีนไดอะมีนตามแผนการทดลอง ในข้อ 2.3.1.2 ได้ผลตามตารางที่ 3.2 และ 3.3 จากผลการเปรียบเทียบทางสถิติพบว่า เชกชาเมกิลีนไดอะมีน ที่ระดับความเข้มข้น 1 และ 10% นีอีช 8 และ 10 และเวลาที่ใช้ติดเชกชาเมกิลีนไดอะมีน 1 และ 4 ชั่วโมง ไม่มีอิทธิพลของปัจจัยดังกล่าวต่อผลการตรวจ COX บนผ้าในครอบที่ระดับความเชื่อมั่น 95%

ตารางที่ 3.2 ผลการติดเชกชาร์เมกิลินไดอะมีนในสภาวะต่าง ๆ

เวลาที่ใช้ติด เชกชาร์เมกิลินไดอะมีน	ค่ากรายแสงที่อ่านได้(นาโนแอมป์) เมื่อวัดกลูโคสเข้มข้น 13 ppm มีความเข้มข้นเชกชาร์เมกิลินไดอะมีน				
	1%		10%		5.5%
	พีเอช8	พีเอช10	พีเอช8	พีเอช10	พีเอช9
1 ชั่วโมง	20,22	22,35	20,31	20,20	
4 ชั่วโมง	26,32	24,25	25,30	24,26	
2.5 ชั่วโมง					25,30

ตารางที่ 3.3 ผลของปัจจัยต่างๆในการติดเชกชาร์เมกิลินไดอะมีน

ปัจจัยหลักและอิทธิพลร่วม	Mean contrast	Critical value
A (ความเข้มข้น)	-1.5	3.95
B (พีเอช)	-1.5	
C (เวลา)	2.5	
AB	-3.5	
AC	1	
BC	-2	
ABC	2.5	

จากผลการทดลองที่ได้ต้องการหาสภาวะอย่างต่ำที่การตรึงเอนไซม์ยังให้ผลดี จึงลดปริมาณและเวลาที่ใช้ติดเชกซ่าเมกเลินได้อาภิญ ดังนี้ ประสบภาวะการติดเชกซ่าเมกเลินได้อาภิญ มีความเข้มข้นเหลือ 0.1 และ 0.5% ใช้เวลา 15 และ 45 นาที ที่อุ่น 9 ว่างแผนการทดลองแบบ  $2^2$  แฟคตอเรียล และใช้กลูตาแรลดีไซด์เข้มข้น 1% นีโอช 9 เวลา 45 นาที นอกจากราบบบยังคงใช้สภาวะการตรึงเอนไซม์อีก 2.3.1 ได้ผลตามตารางที่ 3.4 และ 3.5 จากผลการเปรียบเทียบทางสถิติ พบว่า ที่ระดับความเชื่อมั่น 95% ระดับความเข้มข้นเชกซ่าเมกเลินได้อาภิญ 0.1 และ 0.5% มีอิทธิพลของความเข้มข้นต่อผลการตรึงเอนไซม์ ส่วนเวลาไม่มีผล เมื่อใช้เชกซ่าเมกเลินได้อาภิญเข้มข้น 1% ใน การตรึง GOx และวัดแยกตัววิถีกลูโคส เข้มข้น 27 ppm จะเห็นว่ามีแยกตัววิถีเป็น 2 เท่าของการใช้เชกซ่าเมกเลินได้อาภิญเข้มข้น 0.5% ต่อไปนี้จึงเลือกใช้สภาวะการตรึงด้วยเชกซ่าเมกเลินได้อาภิญเข้มข้น 1% นีโอช 9 เวลา 45 นาที

### 3.1.3 การติดกลูตาแรลดีไซด์

ประสบภาวะต่าง ๆ ในการติดกลูตาแรลดีไซด์ตามแผนการทดลองในหัวข้อ 2.3.1.3 ได้ผลตามตารางที่ 3.6 และ 3.7 จากผลการเปรียบเทียบทางสถิติพบว่า ที่ระดับความเชื่อมั่น 95% ระดับความเข้มข้นกลูตาแรลดีไซด์ 1 และ 12% มีอิทธิพลของความเข้มข้นต่อผลการตรึง GOx น้ำผ้าในครอบ ส่วนปัจจัยอื่นเดียวกัน นีโอช 8 และ 10 เวลา 30 และ 90 นาที ไม่มีผลต่อการตรึงเอนไซม์ นอกจากอิทธิพลร่วมของทั้งความเข้มข้น นีโอช และเวลา จะมีผลต่อการตรึงเอนไซม์ด้วย จากการทดลองที่ได้ต้องการหาสภาวะอย่างต่ำที่การตรึงเอนไซม์ยังให้ผลดี จึงลดปริมาณและเวลาที่ใช้ติดกลูตาแรลดีไซด์ ดังนี้ ประสบภาวะการติดกลูตาแรลดีไซด์เหลือ 0.1 และ 0.5% ใช้เวลา 10 และ 20 นาที ที่อุ่น 9 ว่างแผนการทดลองแบบ  $2^2$  แฟคตอเรียล นอกจากราบบบยังคงใช้สภาวะการตรึงเอนไซม์อีก 2.3.1 ได้ผลตามตารางที่ 3.8 และ 3.9 จากผลการเปรียบเทียบทางสถิติพบว่า ที่ระดับความเชื่อมั่น 95% ระดับความเข้มข้นของกลูตาแรลดีไซด์ 0.1 และ 0.5% มีผลต่อการตรึง GOx น้ำผ้าในครอบ เวลาไม่ต่ำกว่า 10 นาที

จะเห็นว่าที่ระดับความเข้มข้นกลูโคสเท่ากัน การติดโดยใช้กลูตาแรลดีไซด์เข้มข้น 0.5 และ 12% จะให้ผ้าในครอบมีแยกตัววิถีเป็นอัตราส่วนเดียวกัน 1:1.33:1.6 การติดโดยใช้กลูตาแรลดีไซด์เข้มข้น 12% เทียบกับ 1% ให้แยกตัววิถีสูงขึ้นเป็น 20% แต่ปริมาณที่ใช้สูงกว่ากันถึง 1200% ทำให้ไม่ประยุกต์ จึงเลือกใช้สภาวะการติดกลูตาแรลดีไซด์เข้มข้น 1% นีโอช 9 เวลา 45 นาที

ตารางที่ 3.4 ผลการติดเชกชาร์เมกิลินได้อามีนที่ระดับความเข้มข้นและเวลาที่อยู่ลง

เวลาที่ใช้ติด เชกชาร์เมกิลินได้อามีน	ค่ากราฟแท่งที่อ่านได้(นาโนแกรมป์) เมื่อวัดกัญโตกส์ ชั้มชัน27ppm มีความเข้มข้นเชกชาร์เมกิลินได้อามีน		
	0.1%	0.5%	0.3%
15 นาที	12, 15	21, 25	
45 นาที	12, 18	23, 27	
30 นาที			18, 19

ตารางที่ 3.5 ผลของปัจจัยต่างๆในการติดเชกชาร์เมกิลินได้อามีนที่ระดับความเข้มข้น  
และเวลาที่อยู่ลง

ปัจจัยหลักและอิทธิพลร่วม	Mean contrast	Critical value
A (ความเข้มข้น)	9.75 +	6.09
B (เวลา)	1.75	
AB	0.25	

เครื่องหมาย + แสดงว่า จากผลการวิเคราะห์ทางสถิติพบว่า ความเข้มข้นเชกชาร์เมกิลินได้อามีน  
มีผลต่อการตั้ง COX ที่ระดับความเชื่อมั่น 95%



ตารางที่ 3.6 ผลการติดกลูตารัลดีไซด์ ในสภาวะต่างๆ

เวลาที่ใช้ติด กลูตารัลดีไซด์	ค่ากราฟแท่งอ่านได้(นาโนแมกโนบี) เมื่อวัดกลูโคสเข้มข้น 13 ppm				
	ความเข้มข้นกลูตารัลดีไซด์				
	1%		12%		6.5%
	นีโอช 8	นีโอช 10	นีโอช 8	นีโอช 10	นีโอช 9
30 นาที	21,30	25,25	25,30	34,35	
90 นาที	22,27	29,29	34,36	23,30	
45 นาที					28,35

ตารางที่ 3.7 ผลของปัจจัยต่างๆในการติดกลูตารัลดีไซด์

ปัจจัยหลักและอิทธิพลร่วม	Mean contrast	Critical value
A (ความเข้มข้น)	4.875 +	3.92
B (นีโอช)	0.625	
C (เวลา)	0.625	
AB	-1.375	
AC	-0.875	
BC	-2.625	
ABC	5.125 +	

เครื่องหมาย + แสดงว่า จากผลการวิเคราะห์ทางสถิตินะว่า ความเข้มข้นกลูตารัลดีไซด์ และ อิทธิพลร่วมของความเข้มข้น นีโอช และเวลา มีผลต่อการตรวจ Qox ที่ระดับความเชื่อมั่น 95%

ตารางที่ 3.8 ผลการติดกลูตาแร็คดีไซด์กับรังคับความเข้มข้นและเวลาที่ oxylong

เวลาที่ใช้ติด กลูตาแร็คดีไซด์	ค่ากราฟแท่งที่อ่านได้(นาโนแอมป์) เมื่อวัดกลูโคสเข้มข้น 13 ppm มีความเข้มข้นกลูตาแร็คดีไซด์		
	0.1%	0.5%	0.3%
10 นาที	13, 13	21, 21	
20 นาที	14, 13	16, 20	
15 นาที			16, 18

ตารางที่ 3.9 ผลของปัจจัยต่างๆในการติดกลูตาแร็คดีไซด์กับรังคับความเข้มข้น  
และเวลาที่ oxylong

ปัจจัยหลักและอิทธิพลร่วม	Mean contrast	Critical value
A (ความเข้มข้น)	6.25 +	2.86
B (เวลา)	-1.25	
AB	-1.75	

เครื่องหมาย + แสดงว่า จากผลการวิเคราะห์ทางสถิติพบว่า ความเข้มข้นของ GOx มีผลต่อ การตรวจ GOx กับรังคับความเชื่อมั่น 95%

### 3.1.4 การตรวจ GOx

แบบสภาวะต่าง ๆ ในการตรวจ GOxตามแผนการทดลองในข้อ 2.3.1.4 ได้ผลตามตารางที่ 3.10 จากผลการทดลองที่ได้พบว่า ความเข้มข้นและนีโอซ์มีผลต่อการตรวจ GOx ความเข้มข้นอันต่ำในการตรวจควรเป็น 0.2% นีโอซ์ที่เหมาะสมคือ นีโอซ์ 7 จึงเลือกสภาวะในการตรวจ GOx หน้าในตอนดังนี้

1. ติดเชกชาร์เมกิลินไอกามีนที่ระดับความเข้มข้น 1% นีโอซ์ 9 เวลา 45 นาที
2. ติดกลูตารัลดีไซด์ที่ระดับความเข้มข้น 1% นีโอซ์ 9 เวลา 45 นาที
3. ตรวจ GOx ที่ระดับความเข้มข้น 0.3% นีโอซ์ 7 เวลา 2 ชั่วโมง แล้ว

ทิ้งค้างคืนที่อุณหภูมิ  $4^{\circ}\text{C}$

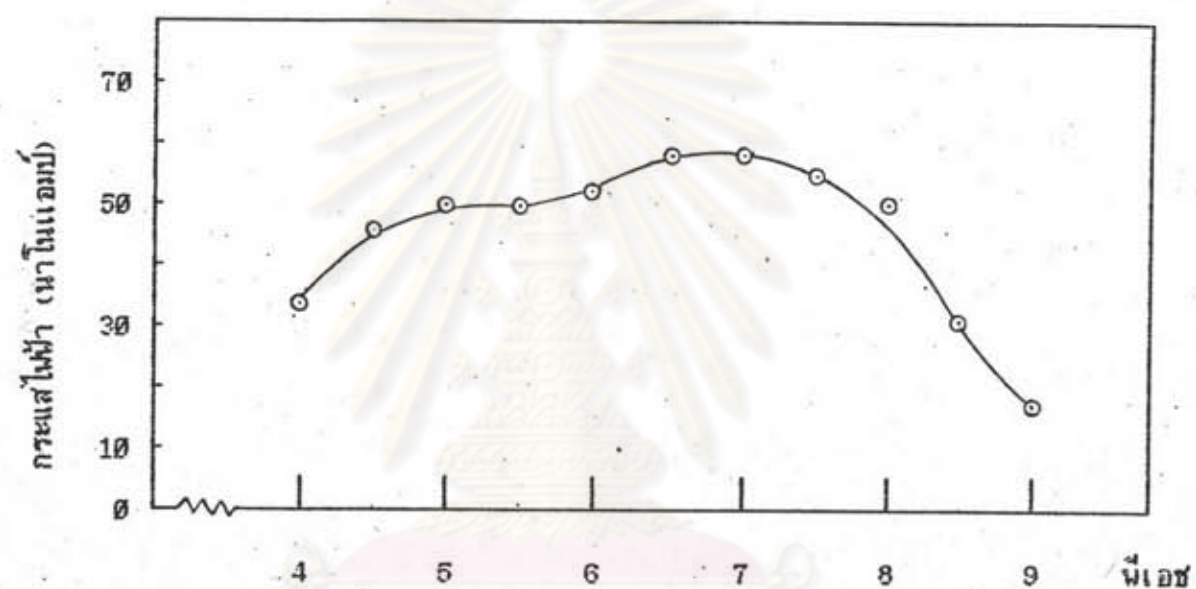
ตารางที่ 3.10 ผลการตรวจ GOx ในสภาวะต่าง ๆ

นีโอซ์ที่ใช้ตรวจ GOx	ค่ากราฟที่อ่านได้(นาโนแมกโนบี) เมื่อวัดกลูโคสเข้มข้น 12 ppm ความเข้มข้น GOx		
	0.1%	0.2%	0.3%
นีโอซ์ 6	3,3	5,5	5,5
นีโอซ์ 7	13,14	20,20	22,20
นีโอซ์ 8	13,13		17,17

### 3.2 การศึกษาสภาวะต่าง ๆ ในการวัดปริมาณกลูโคส

#### 3.2.1 ผลของนีโอซ์ที่มีต่อผลการวัดปริมาณกลูโคส

ศึกษาผลของนีโอซ์ที่มีต่อผลการวัดปริมาณกลูโคสเข้มข้น 25 ppm ตามแผนการทดลองในข้อ 2.3.2.1 พบว่า นีโอซ์ที่เหมาะสมในการวัดปริมาณกลูโคสคือ นีโอซ์ 6.5 ถึง 7 ช่วงนีโอซ์ที่ยังใช้งานได้คือ นีโอซ์ 5 ถึง 8 ตามรูปที่ 3.1



รูปที่ 3.1 ผลของน้ำเงินเดือนต่อผลการวัดปริมาณกลูโคส

ศูนย์วิทยทรัพยากร  
จุฬาลงกรณ์มหาวิทยาลัย

### 3.2.2 ผลของอุณหภูมิที่มีต่อผลการวัดปริมาณกลูโคส

ศึกษาผลของอุณหภูมิที่มีต่อผลการวัดปริมาณกลูโคสตามแผนการทดลองในข้อ 2.3.2.2 ทำการศึกษาเป็น 2 ช่วง พบว่าช่วงอุณหภูมิที่ใช้งานได้ดีทั้งแต่อุณหภูมิห้องถึง  $45^{\circ}\text{C}$  เมื่ออุณหภูมิต่างกัน 1 ถึง  $2^{\circ}\text{C}$  แอดดิวเตจ์จะต่างกันเล็กน้อย ตามรูปที่ 3.2 ทางลังงานกระตุ้นในการวัดกลูโคสได้ 5.7 กิโลแคลอรี่/มิล (คุภาคผนวก ค) ส่วนช่วงอุณหภูมิ 50 ถึง  $65^{\circ}\text{C}$  เอนไซม์จะถูกทำลายค่อนข้างเร็วมาก แอดดิวเตจ์ลดลงรวดเร็วภายในไบโคนท์ ตามรูปที่ 3.3 ทางลังงานกระตุ้นในการทำลายเอนไซม์ได้ 26.4 กิโลแคลอรี่/มิล (คุภาคผนวก ง)

### 3.2.3 ผลของนีโอซีที่มีต่อเสถียรภาพของ GOX ตริงหน้าไนโคลอน

ศึกษาผลของนีโอซีที่มีต่อเสถียรภาพของ GOX ตริงหน้าไนโคลอนตามแผนการทดลองในข้อ 2.3.2.3 พบว่าช่วงนีโอซี 6 ถึง 7 เอนไซม์มีเสถียรภาพดีที่สุด ตามรูปที่ 3.4

### 3.2.4 ผลของอุณหภูมิที่มีต่อเสถียรภาพของ GOX ตริงหน้าไนโคลอนขณะใช้งาน

ศึกษาผลของอุณหภูมิที่มีต่อเสถียรภาพของ GOX ตริงหน้าไนโคลอนขณะใช้งานตามแผนการทดลองในข้อ 2.3.2.4 พบว่าที่อุณหภูมิ  $30^{\circ}\text{C}$  จะมีเสถียรภาพดีกว่าที่  $35^{\circ}\text{C}$  และ  $40^{\circ}\text{C}$  ตามลำดับ ในช่วง 4 วันแรกที่อุณหภูมิ  $30^{\circ}\text{C}$  และ  $35^{\circ}\text{C}$  GOxยังมีแอดดิวเตจ์อยู่มากเมื่อเทียบกับที่อุณหภูมิ  $40^{\circ}\text{C}$  ตามรูปที่ 3.5

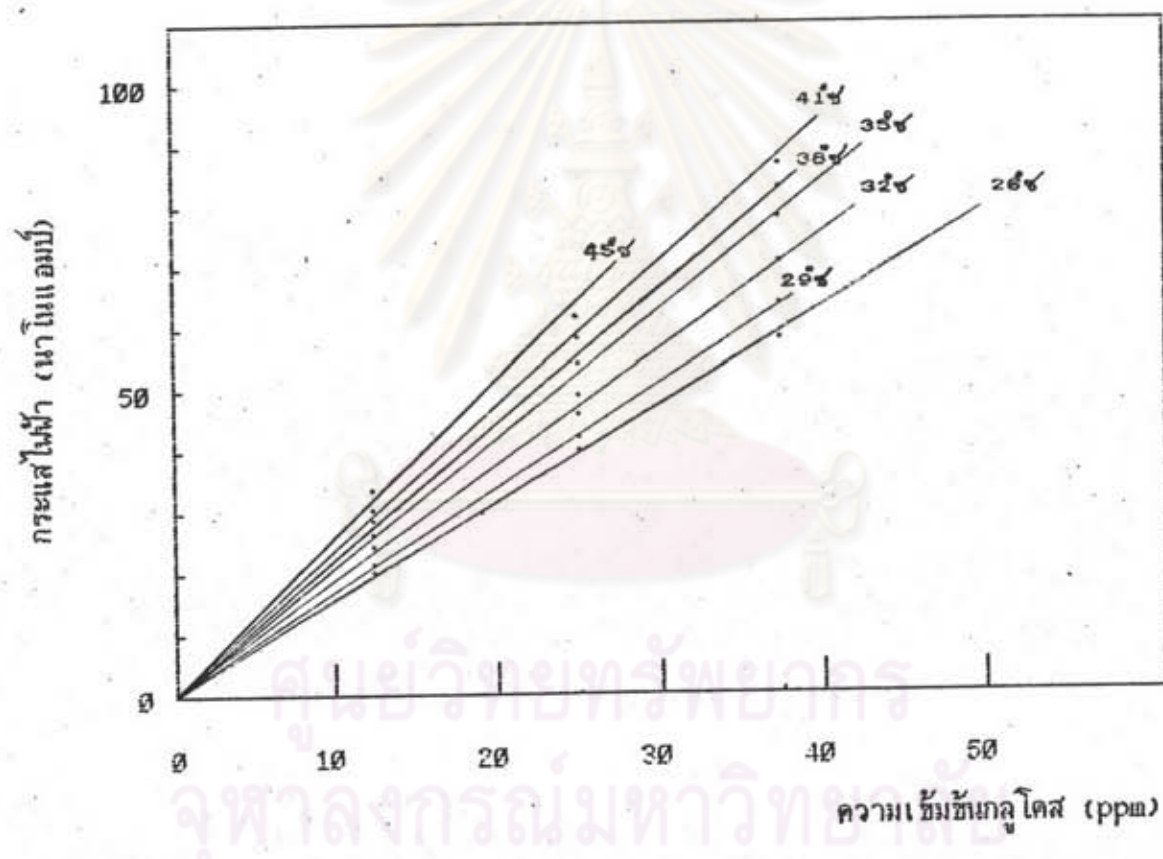
ที่อุณหภูมิ  $30^{\circ}\text{C}$  มีเวลาครึ่งอายุประมาณ 11 วัน

$"$	$35^{\circ}\text{C}$	$"$	7 วัน
$"$	$40^{\circ}\text{C}$	$"$	6 วัน

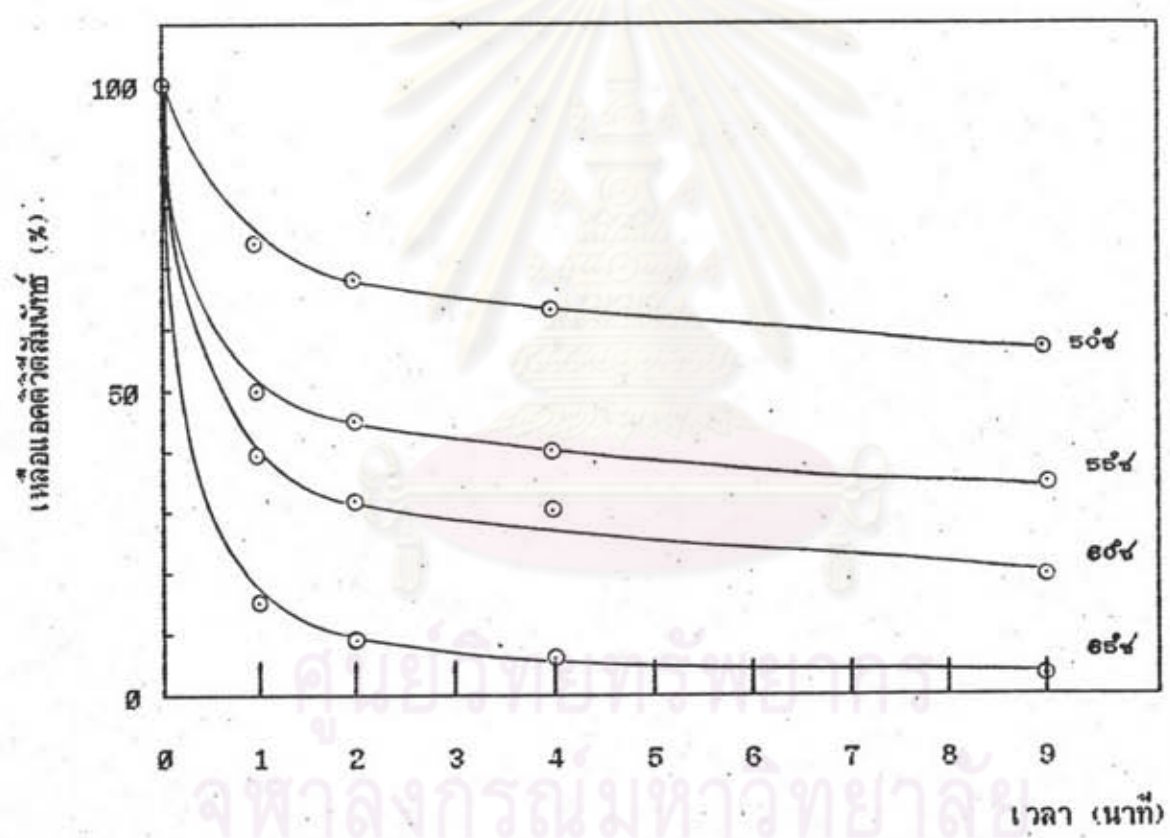
### 3.2.5 ค่าคงที่ Michaelis-Menten ปรากฏ ( $K_m$ app) และอัตราเร็วสูง

#### สุดปรากฏ ( $V_{max}$ app)

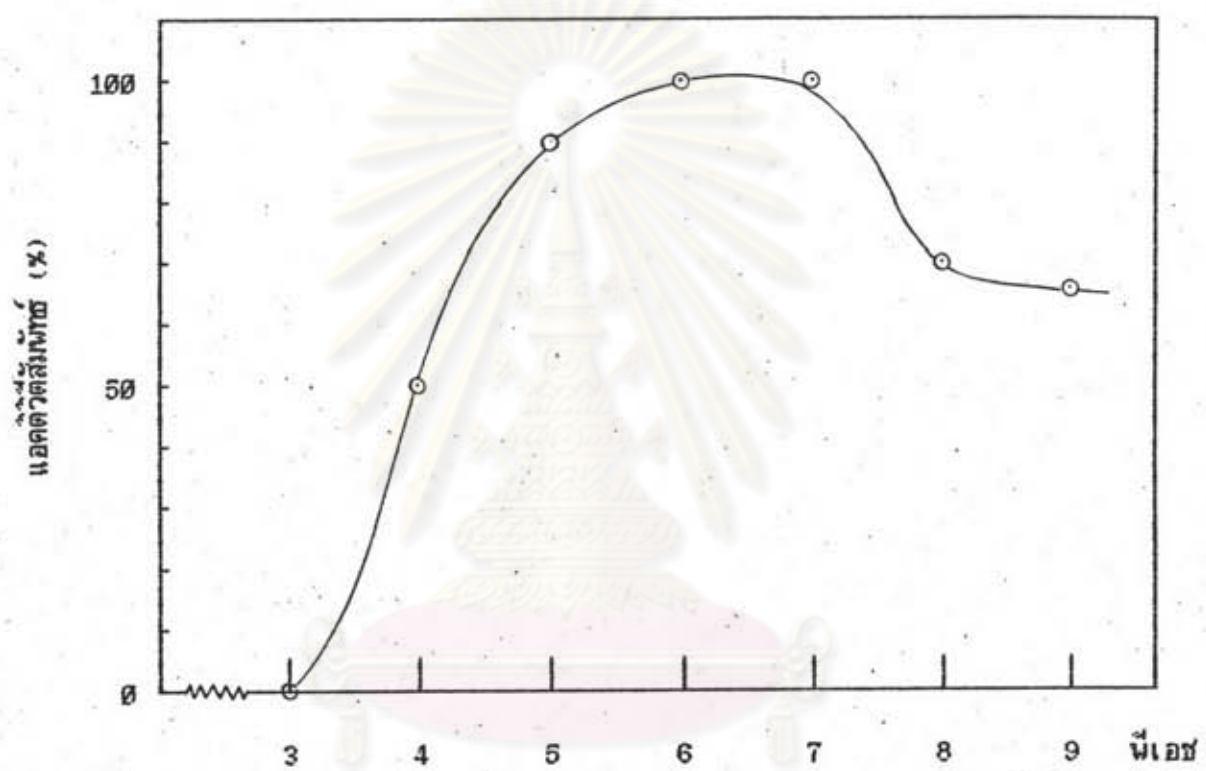
หาค่า  $K_m$  app และ  $V_{max}$  app ตามแผนการทดลองในข้อ 2.3.2.5 พบว่า GOX ตริงหน้าไนโคลอนมีค่า  $K_m$  app คือ 7.4 มิลลิโมล และอัตราเร็วสูงสุดปรากฏคือ 1 ในโครโนล/นาที ตามรูปที่ 3.6 และ 3.7



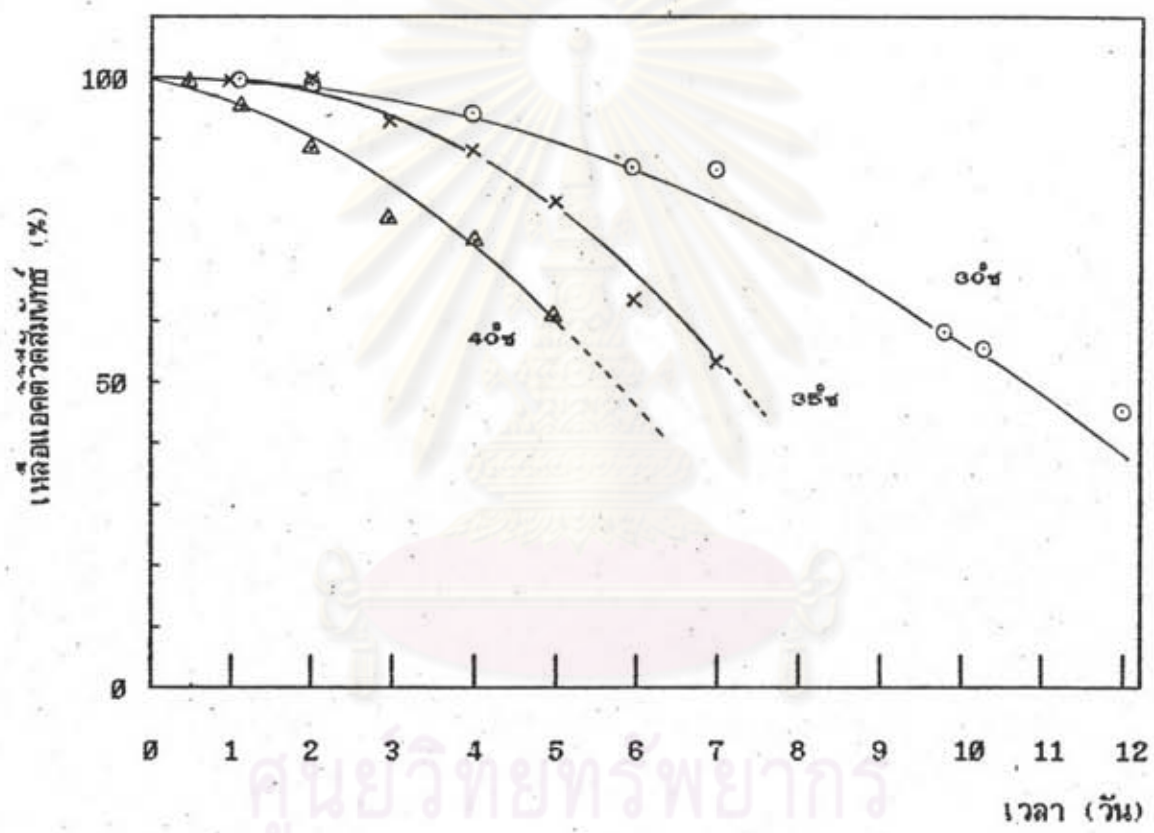
รูปที่ 3.2 ผลของอุทกุกามีต่อผลการวัดปริมาณกนูโคลส (ช่วงอุทกุกามีค่า)



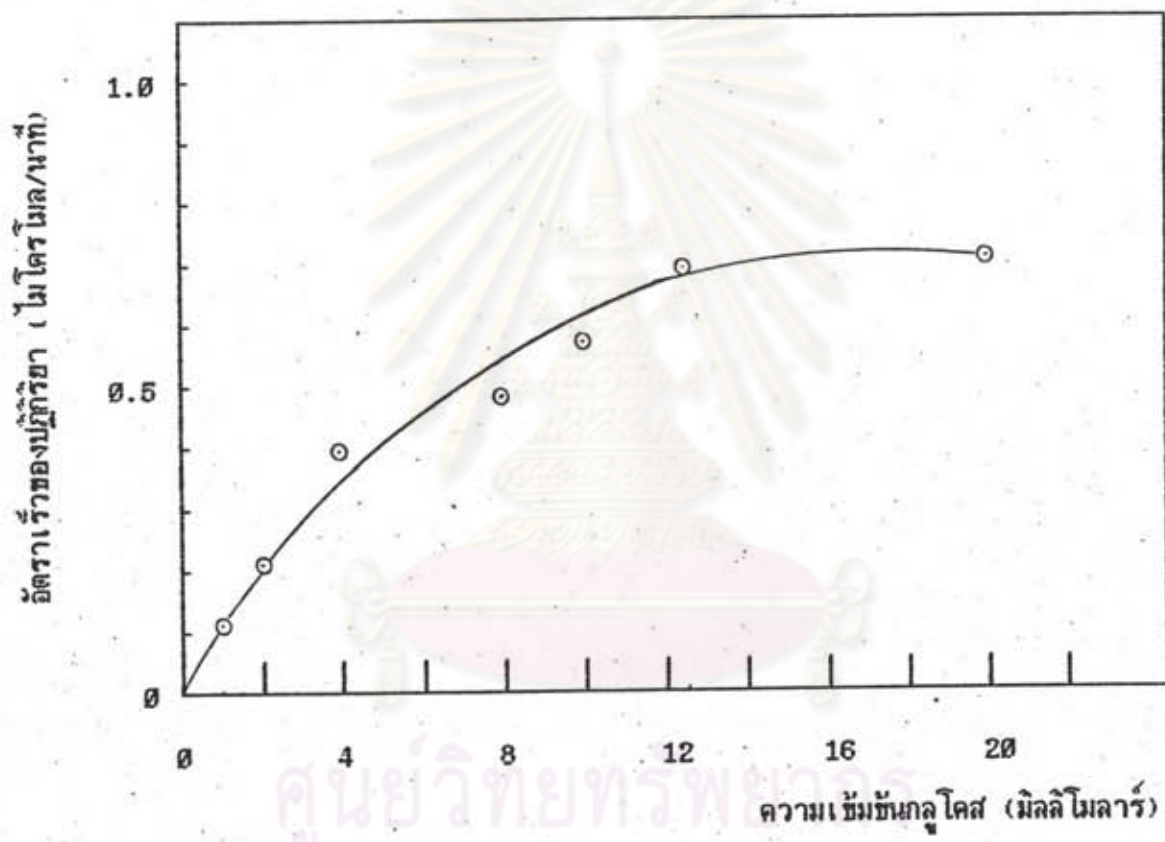
รูปที่ 3.3 ผลของการหุงน้ำเปล่าคือผลการวัดปริมาณกลูโคส (ช่วงอุณหภูมิสูง)



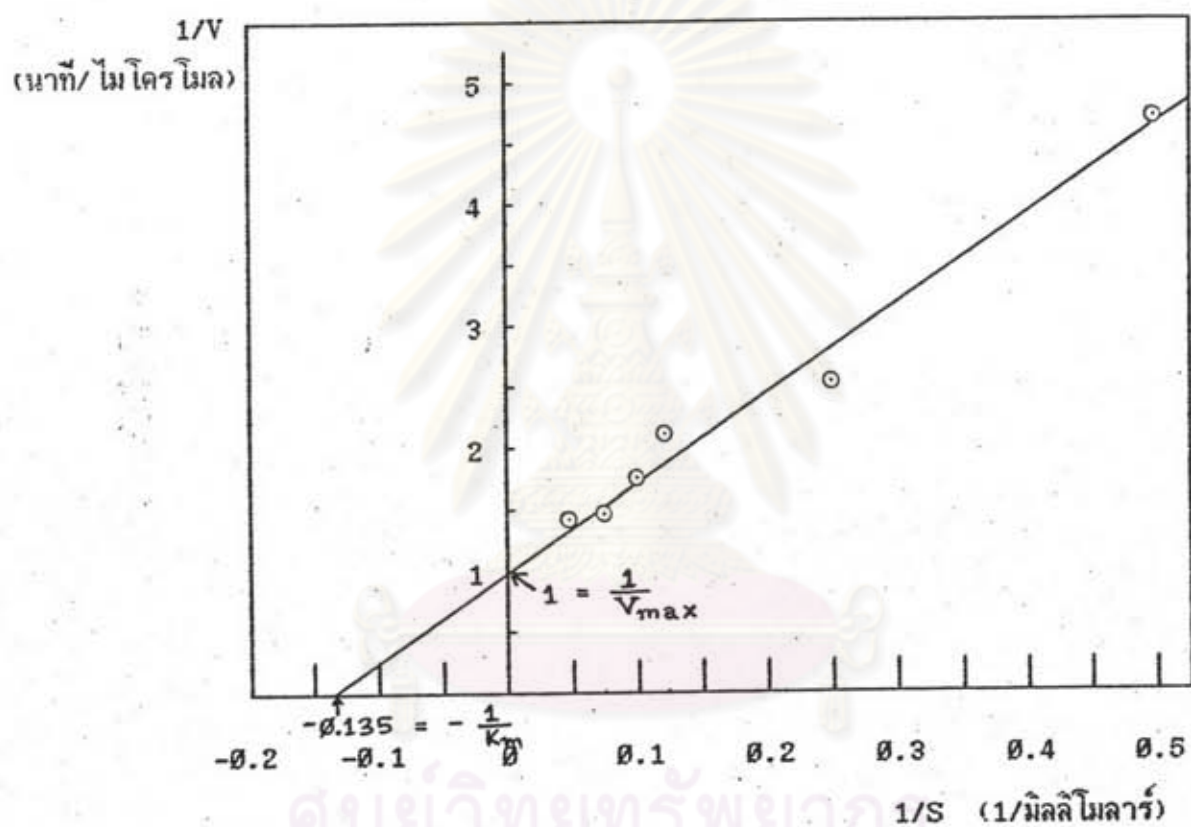
รูปที่ 3.4 ผลของฟีเอชที่เพื่อเสกขากวนของ GOx สร้างม้าในลอน



รูปที่ 3.5 ผลของอคุณภาพเชื่อเสียรากของ Gox ตั้งแต่วันที่ 0 ในล่องระดับ 0.5%



รูปที่ 3.6 ความสัมพันธ์ระหว่างอัตราเร็วของปฏิกริยา กับความเสี่ยงทั้งหมด



รูปที่ 3.7 กราฟ Lineweaver-Burk  
ได้ค่า  $K_m$  app คือ 7.4 มิลลิโนลาร์ และอัตราเร็วสูงสุดประมาณ 1 ไมโครโนล/นาที

### 3.2.6 ผลการเตรียมแผ่น CA

เตรียมแผ่น CA ตามแผนการทดลอง ในข้อ 2.3.2.6 ได้แผ่น CA คล้ายแผ่นเหลาสติกใส มีรอยย่นเล็กน้อย ไม่สามารถควบคุมความหนาให้สม่ำเสมอเท่ากันได้ มีความหนาประมาณ 20 ถึง 45 ไมครอน

### 3.2.7 ผลของระดับความเข้มข้นของกลูโคสที่มีต่อผลการวัดปริมาณกลูโคส

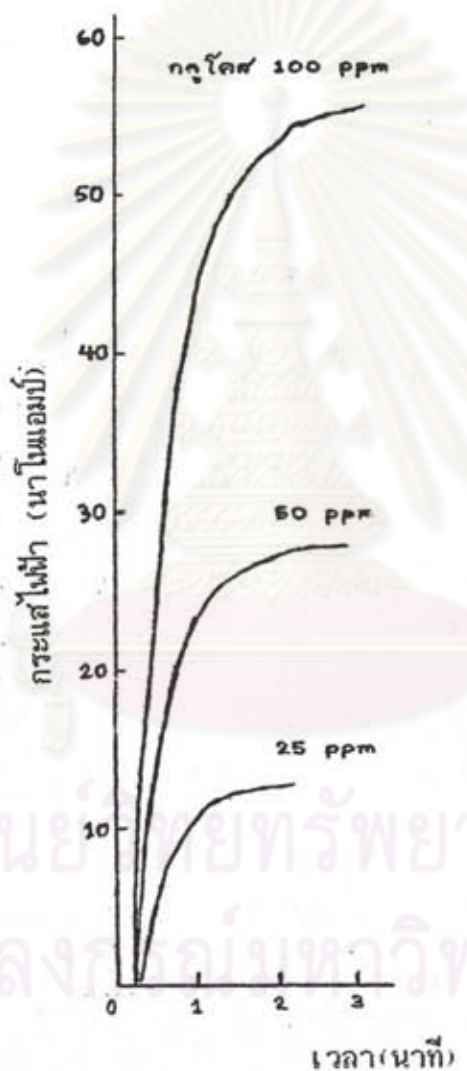
ศึกษาผลของระดับความเข้มข้นของกลูโคสที่มีต่อผลการวัดปริมาณกลูโคสตามแผนการทดลอง ในข้อ 2.3.2.7 พบว่าในการวัดปริมาณกลูโคสที่ระดับความเข้มข้นต่าง ๆ กันจะให้ค่ากระเพาะไนโตรเป็นสัดส่วนโดยตรงกับปริมาณกลูโคส แม้ว่าในการวัดแต่ละชุดจะใช้ผ้าในตอนตั้ง COX ที่มีอายุการใช้งานต่างกันและใช้แผ่น CA หน้างานไม่เท่ากัน ที่ยังให้กราฟความสัมพันธ์ เป็นเส้นตรง ดังนั้นในการใช้งานเครื่องใหม่ทุกครั้งต้องทำการฝึกความสัมพันธ์เส้นตรงระหว่าง กระเพาะไนโตรกับปริมาณกลูโคสใหม่เสมอ เนื่องจากเครื่องมือสามารถวัดกระเพาะไนโตรได้แค่ 100 นาโนแอมป์ ถ้าสูงกว่านี้หนึ่งพิวอิเล็กโทรดจะจำกัด จึงทำให้ใช้เครื่องมือวัดปริมาณกลูโคส ได้อยู่ในช่วงประมาณ 0 ถึง 150 ppm เมื่อทำการวัดตัวอย่างเดียวกัน 15 ครั้ง ได้ค่าเฉลี่ย 60 ppm มีส่วนเบี่ยงเบนมาตรฐาน 1 ppm คิดเป็นส่วนเบี่ยงเบนมาตรฐานสัมพันธ์ 1.7% พบว่า ลักษณะสัญญาณเมื่อเวลาแสดงสัญญาณอยู่กันทั้งในช่วงปริมาณกลูโคสความเข้มข้นต่ำและความเข้มข้นสูง คือมีเวลาแสดงสัญญาณประมาณ 1 ถึง 2 นาที ตามรูปที่ 3.8 ถึง 3.12

### 3.2.8 ผลของการกวนที่มีต่อผลการวัดปริมาณกลูโคส

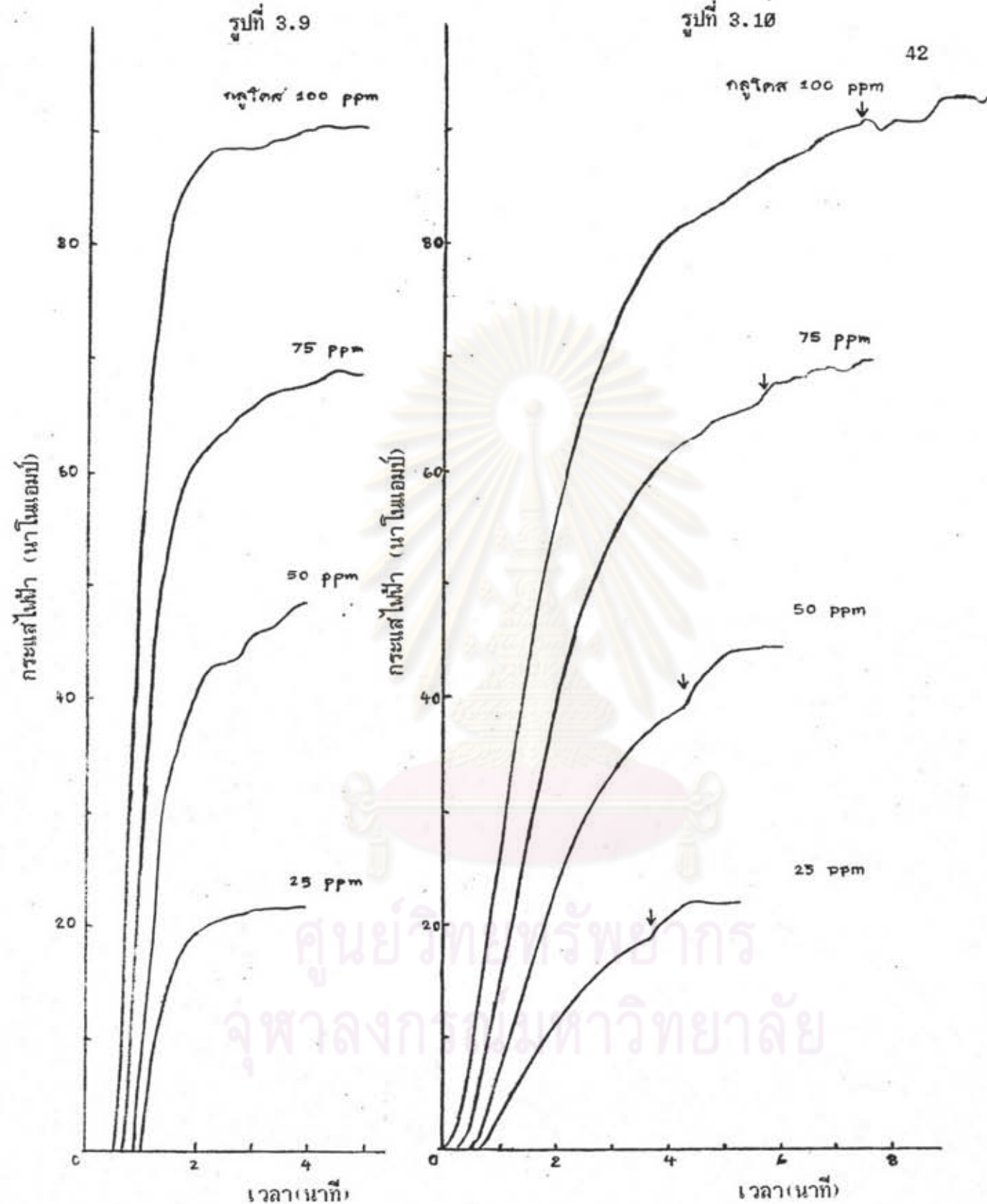
ศึกษาผลของการกวนที่มีต่อผลการวัดปริมาณกลูโคสตามแผนการทดลอง ในข้อ 2.3.2.8 พบว่าในการกวนโดยใช้ความเร็วอบที่ต่างกันมากให้ระดับสัญญาณต่างกันประมาณ 6-10 % ตามรูปที่ 3.13 ถึง 3.16

### 3.2.9 ผลการใช้แผ่น CA ป้องกันสารรบกวน

ศึกษาผลการใช้แผ่น CA ป้องกันสารรบกวนตามแผนการทดลอง ในข้อ 2.3.2.9 พบว่าเมื่อใช้แผ่น CA ป้องกันสารรบกวนแล้ววัด ได้ผลตามตารางที่ 3.11 และเมื่อไม่มีแผ่น CA ได้ผลตามตารางที่ 3.12



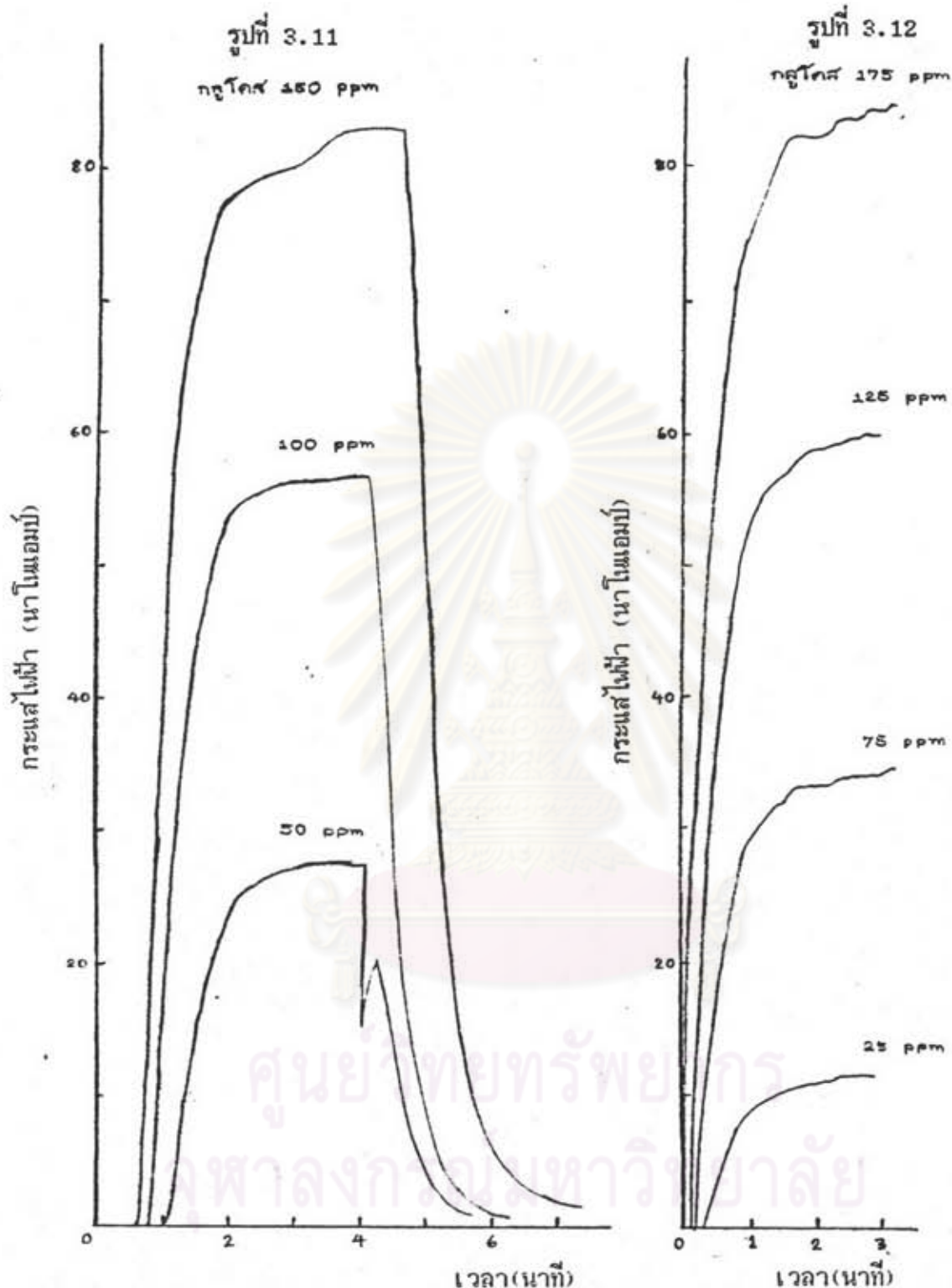
รูปที่ 3.9 ผลของระดับความเข้มข้นของกลูโคสที่มีต่อผลการดูดปริมาณกลูโคส  
เมื่อใช้แผ่น CA เหนา 35 ไมโครเมตร



รูปที่ 3.9 ผลของการดับความเข้มข้นของกลูโคสที่มีต่อผลการวัดปริมาณกลูโคสเมื่อใช้แผ่น CA หนา 25 ไมโครเมตร

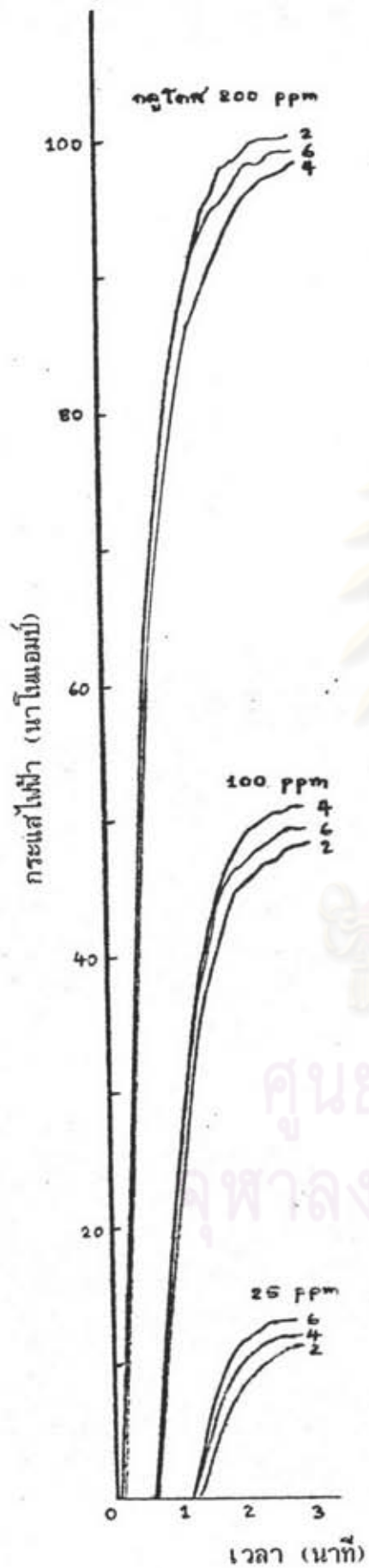
รูปที่ 3.10 เมื่อนำรูปที่ 3.9 แต่ขยายสเกลตัวบัญชีในช่วงนาทีแรก

↓ จุดบังคับ speed recorder จาก 4 ช.m./นาที เป็น 1 ช.m./นาที

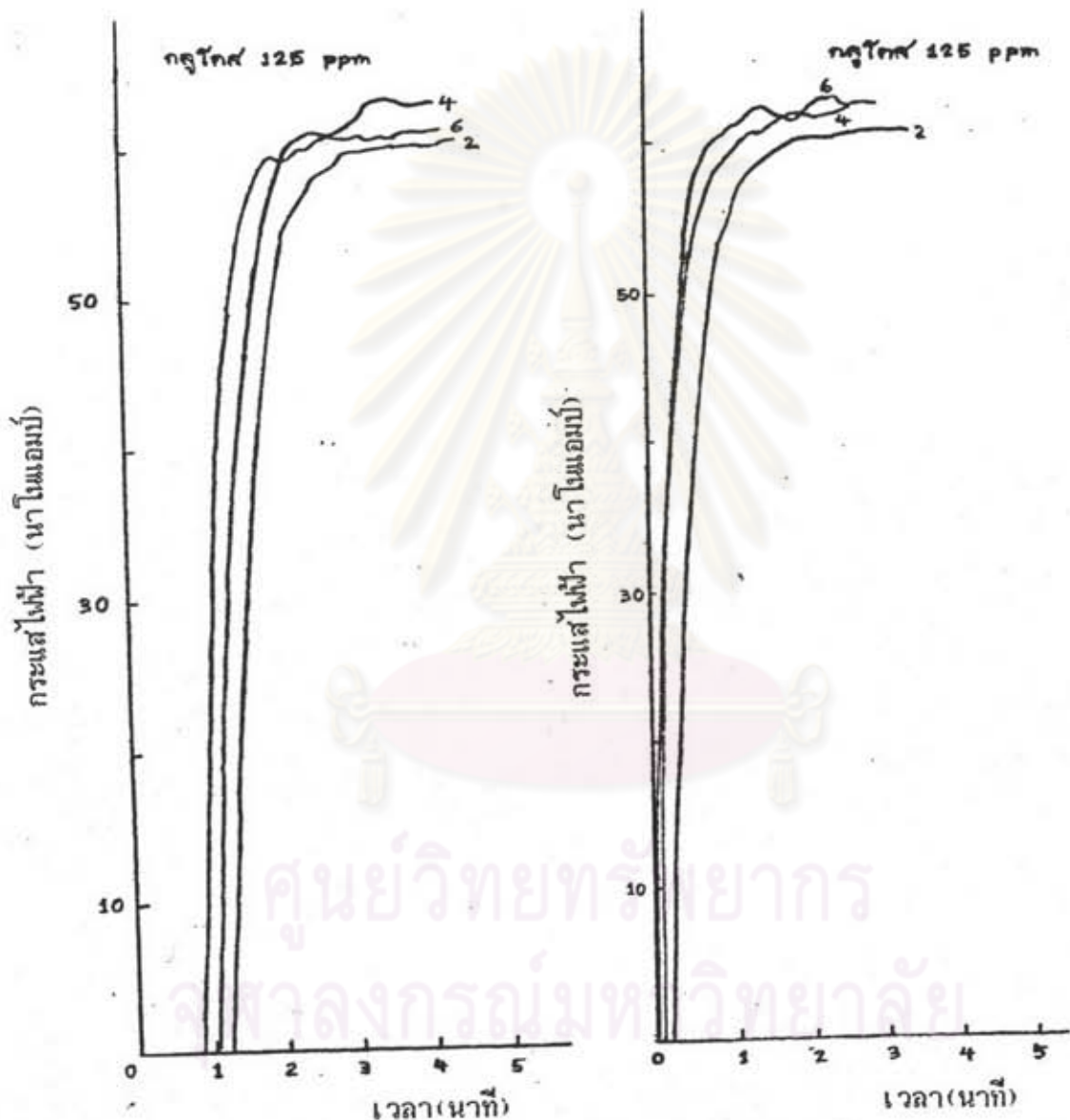


รูปที่ 3.11 ผลของระดับความเข้มข้นของกลูโคสที่มีต่อผลการวัดปริมาณกลูโคส และเวลาที่ใช้ในการล้าง  $H_2O_2$  ก่อนเข้าสู่ค่าศูนย์

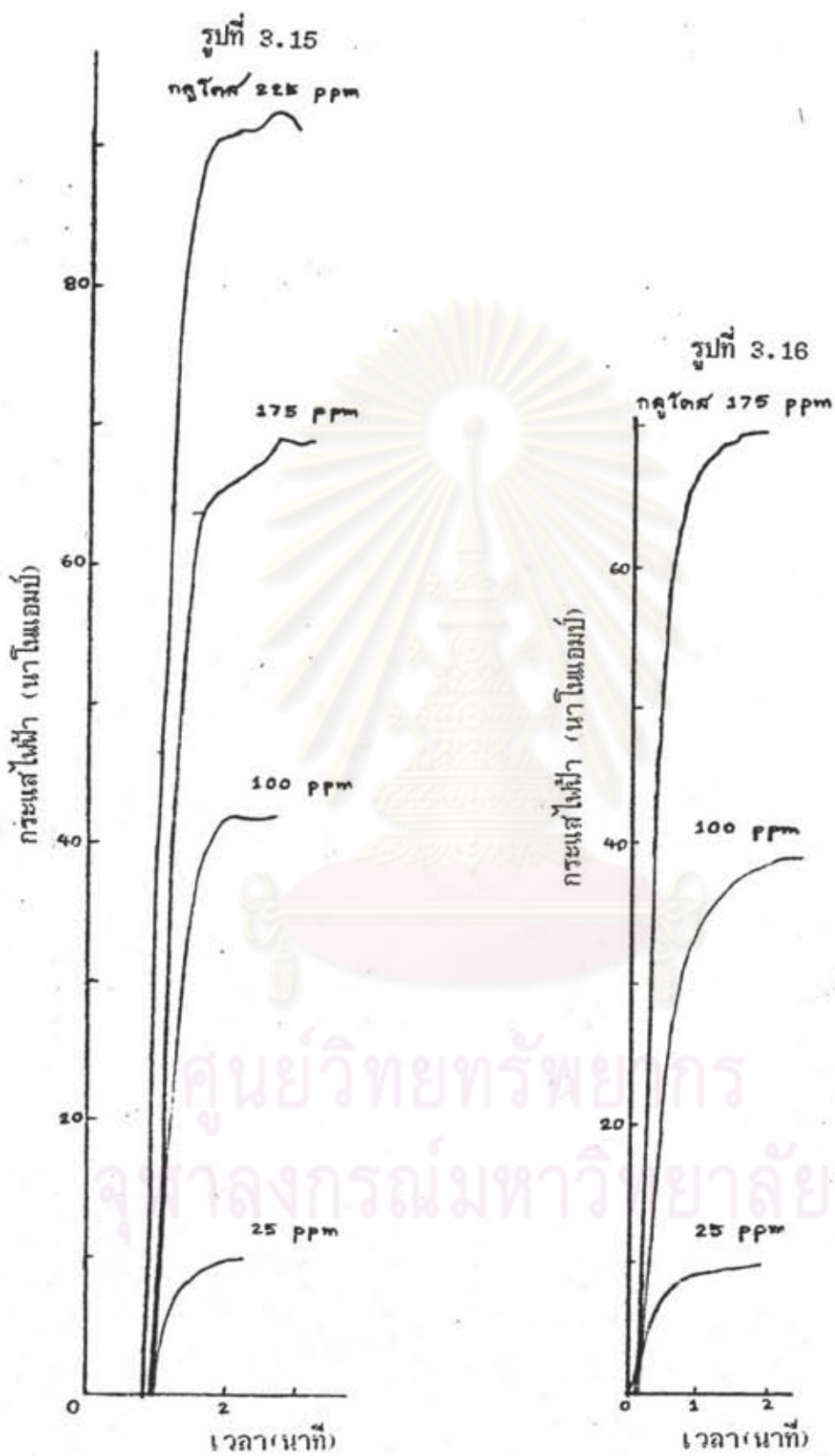
รูปที่ 3.12 ผลของระดับความเข้มข้นของกลูโคสที่มีต่อผลการวัดปริมาณกลูโคส เมื่อใช้แผ่น CA เก่า 40 ไมโครเมตร



รูปที่ 3.13 ผลของการกวนที่มีต่อผลการวัดปริมาณกลูโคส  
หมายเลขอ 2, 4, 6 คือระดับความเร็วของขั้นตอนของการกวน



รูปที่ 3.14 ผลของการเร้ารับการกวนที่มีต่อผลการวัดปริมาณกลูโคสที่ความเข้มข้นเดียวกัน 2 ครั้ง  
หมายเลข 2, 4, 6 คือระดับความเร้ารับของการกวน



รูปที่ 3.15 ผลของการกวนเท่ความเร็วบนระดับ 4 ต่อผลการวัดปริมาณกําลูโคส

รูปที่ 3.16 ผลของการกวนเท่ความเร็วบนระดับ 0.5 ต่อผลการวัดปริมาณกําลูโคส

ตารางที่ 3.11 ผลการวัดสารรับกวนเมื่อมีแม่น้ำ CA และผ้าไนลอน

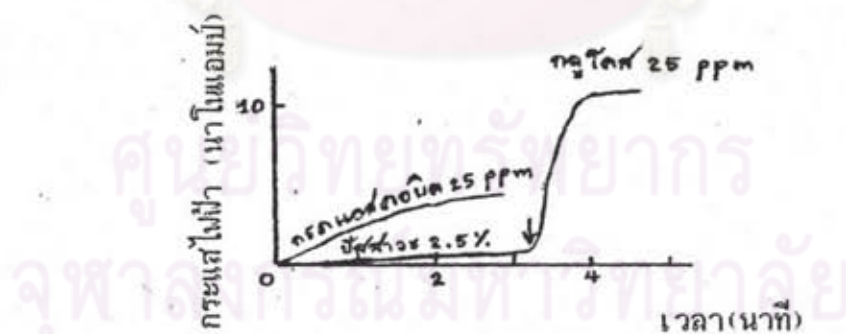
47

ตัวอย่าง	ค่ากระแทส (นาโนแอมป์) ที่อ่านได้
กรดแอกซ์บิก 250 ppm	4
ปั๊สสาวะ 2.5%	1

ตารางที่ 3.12 ผลการวัดสารรับกวนเมื่อไม่มีแม่น้ำ CA มีแต่ผ้าไนลอน

ตัวอย่าง	ค่ากระแทส (นาโนแอมป์) ที่อ่านได้
กรดแอกซ์บิก 2.5 ppm	50
ปั๊สสาวะ 0.0175%	10

จะเห็นว่าเมื่อใช้แม่น้ำ CA จะช่วยป้องกันการรับกวนจากกรดแอกซ์บิกได้ถึง 1250 เท่า เปรียบเทียบผลการวัดปริมาณกลูโคสเมื่อมีกรดแอกซ์บิกที่ความเข้มข้นเท่ากันจะให้ค่าพิเศษลดลง 3 เท่า เช่นเดียวกับเม็ดสีที่รับกวน พบว่าจะมีเวลาแสดงสีที่นานกว่าการวัดกลูโคสมาก ตามรูปที่ 3.17



รูปที่ 3.17 ผลการใช้แม่น้ำ CA ป้องกันสารรับกวน ↓ เติมกลูโคส' 25 ppm

### 3.2.10 ผลการวัดปริมาณไฮโดรเจน เปอร์ออกไซด์

ศึกษาผลการวัดปริมาณไฮโดรเจน เปอร์ออกไซด์ตามแผนการทดลองในหัวข้อ 3.2.10 ได้ผลดังนี้

#### 3.2.10.1 เมื่อใช้อลีกไฮดรอลิกเป็นตัวกลาง พบว่า กระแทสที่อ่านได้เป็น

สักส่วนโดยตรงกับปริมาณ  $H_2O_2$   $H_2O_2$  เข้มข้น 0.09 ppm วัดกระแทสได้ 75 นาโนแอมป์ พบว่าลักษณะสีที่เปลี่ยนไปนั้น โดยเด่นชัดที่ความเข้มข้นสูง ซึ่งเป็นปรากฏการณ์ปกติของการวัด

$H_2O_2$  ด้วยอิเล็กโทรดในสารละลายน้ำมีการกวนผสม เวลาแสดงสัญญาณประมาณครึ่งนาทีตามรูปที่ 3.18

3.2.10.2 เมื่อใช้อิเล็กโทรดติดด้วยผ้าใบคลอน พบว่ากระแสที่อ่านได้เป็นสัดส่วนโดยตรงกับปริมาณ  $H_2O_2$   $H_2O_2$  เช็มชัน 1.8 ppm วัดกระแสได้ 95 นาโนแอมป์ และลักษณะสัญญาณเด่นน้อยลง เวลาแสดงสัญญาณนานขึ้นใช้เวลาประมาณ 1 นาที และ sensitivity ต่ำลงมาก เกือบ 20 เท่า แสดงว่าผ้าใบคลอนช่วยลดแรงกวนคล้ายกับช่วยกรองสัญญาณให้เรียบขึ้น แต่ก็เป็นเลิงก็ดีขวางในการเคลื่อนที่ของ  $H_2O_2$  เนื่องจากอิเล็กโทรด ทำให้เลี้ยวเวลาและ sensitivity ไป ตามรูปที่ 3.19

3.2.10.3 เมื่อใช้อิเล็กโทรดติดด้วยแผ่น CA พบว่า  $H_2O_2$  เช็มชัน 0.12 ppm วัดกระแสได้ประมาณ 12 นาโนแอมป์ ลักษณะสัญญาณค่อนข้างเรียบ เวลาแสดงสัญญาณประมาณครึ่งนาที ตามรูปที่ 3.20

3.2.10.4 เมื่อใช้อิเล็กโทรดติดด้วยแผ่น CA และผ้าใบคลอน พบว่า  $H_2O_2$  1.2 ppm วัดกระแสได้ประมาณ 40 นาโนแอมป์ มีเวลาแสดงสัญญาณประมาณ 1 กิจ 1 นาทีครึ่ง ตามรูปที่ 3.21

### 3.2.11 ผลของระดับขนาดของปฏิกิริยาที่เกิดขึ้นขณะวัดกลูโคส

ศึกษาผลของระดับขนาดของปฏิกิริยาที่เกิดขึ้นขณะวัดกลูโคสตามแผนภูมิในรูป

2.3.2.11 โดยทำการวัด  $H_2O_2$  ที่เกิดขึ้นหลังจากวัดกลูโคส ได้ผลตามตารางที่ 3.13

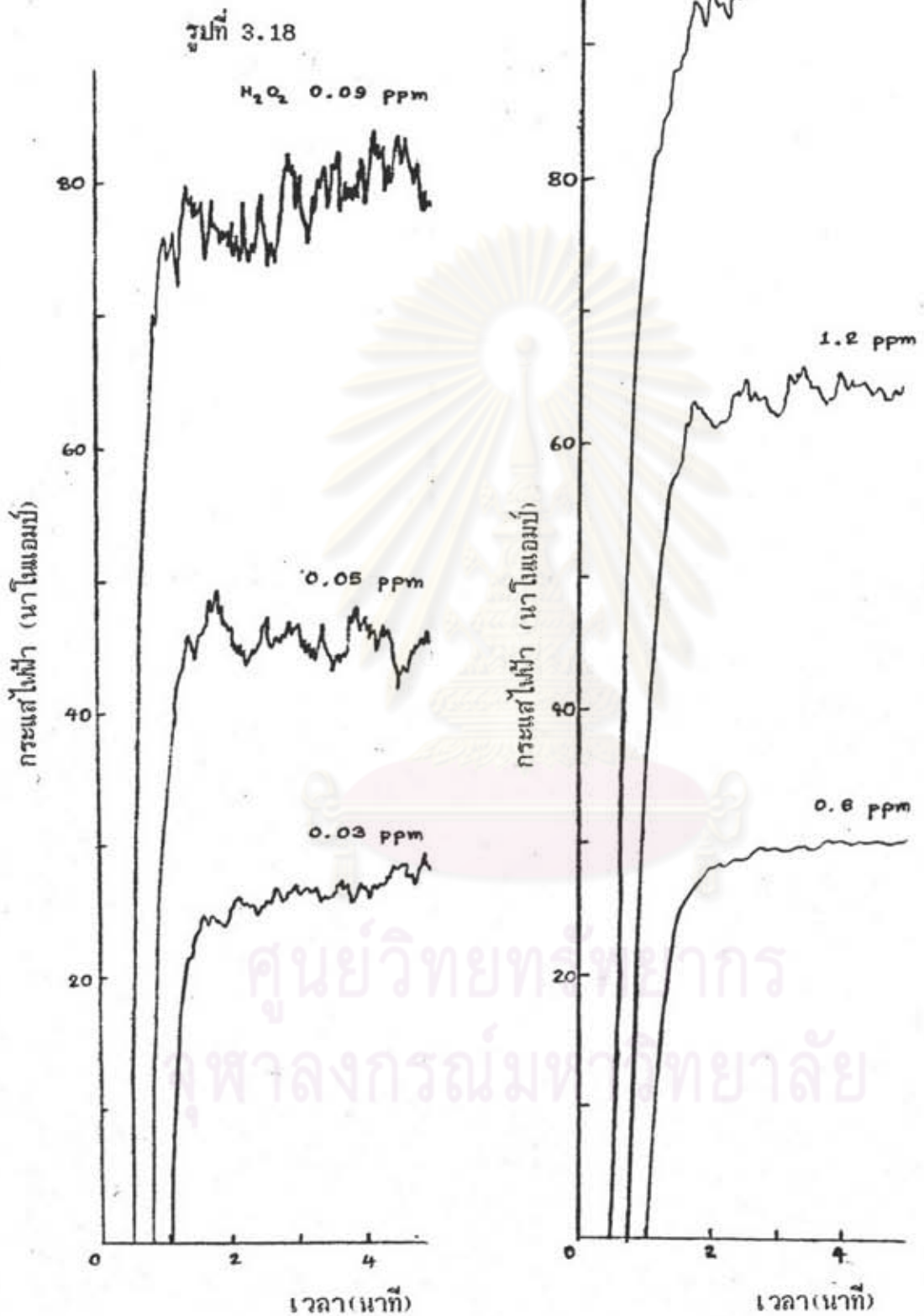
ตารางที่ 3.13 ผลของระดับขนาดปฏิกิริยาที่เกิด  $H_2O_2$  ขณะวัดกลูโคส

ปริมาณกลูโคส (ppm)	เวลาวัด (นาที)	สภาวะการวัด	เกิดกระแส (นาโนแอมป์)	เกิด $H_2O_2$ ในสารละลายน้ำวัดได้ (นาโนแอมป์)
100	10	ไม่มีแผ่น CA	100	13
150	10	มีแผ่น CA	100	19

รูปที่ 3.19

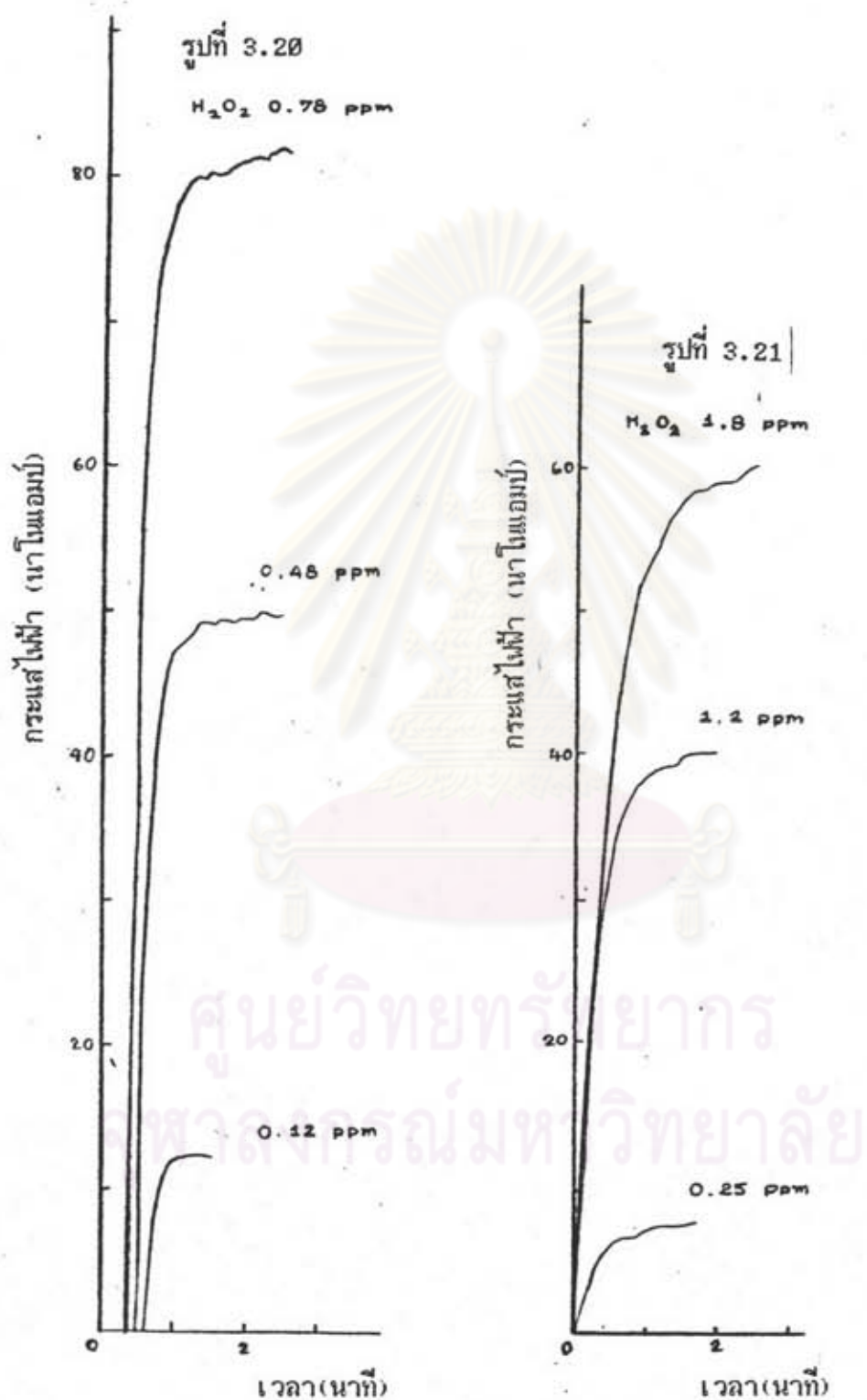
 $H_2O_2$  1.8 ppm

49



รูปที่ 3.18 ผลการวัดปริมาณไฮโดรเจน เปอร์ออกไซด์เมื่อใช้อิเล็กโทรดเปล่า ๆ

รูปที่ 3.19 ผลการวัดปริมาณไฮโดรเจน เปอร์ออกไซด์เมื่อใช้อิเล็กโทรดติดตัวในลอน



รูปที่ 3.20 ผลการวัดปริมาณไฮโดรเจน เปอร์ออกไซด์เมื่อใช้อเล็กโทรดติดด้วยแอลกีน CA

รูปที่ 3.21 ผลการวัดปริมาณไฮโดรเจน เปอร์ออกไซด์เมื่อใช้อเล็กโทรดติดด้วยแอลกีน CA และผ้าไนลอน

ในขณะวัดกลูโคสเกิดกราฟ 100 นาโนแอมป์ เป็นเวลา 10 นาที จะมี  $H_2O_2$  ทำปฏิกิริยาที่ช้าอิเล็กโทรต 3x10<sup>-10</sup> มิล และใช้ออกซิเจนไป 1.5x10<sup>-10</sup> มิล

เมื่อวัดกลูโคส 100 ppm โดยไม่มีแผ่น CA เกิด  $H_2O_2$  ในสารละลายวัดได้ 13 นาโนแอมป์ มี  $H_2O_2$  เกิดขึ้น 2.8x10<sup>-8</sup> มิล และใช้ออกซิเจนไป 2.8x10<sup>-8</sup> มิล

เมื่อวัดกลูโคส 150 ppm โดยมีแผ่น CA เกิด  $H_2O_2$  ในสารละลายวัดได้ 19 นาโนแอมป์ มี  $H_2O_2$  เกิดขึ้น 3.2x10<sup>-8</sup> มิล และใช้ออกซิเจนไป 3.2x10<sup>-8</sup> มิล

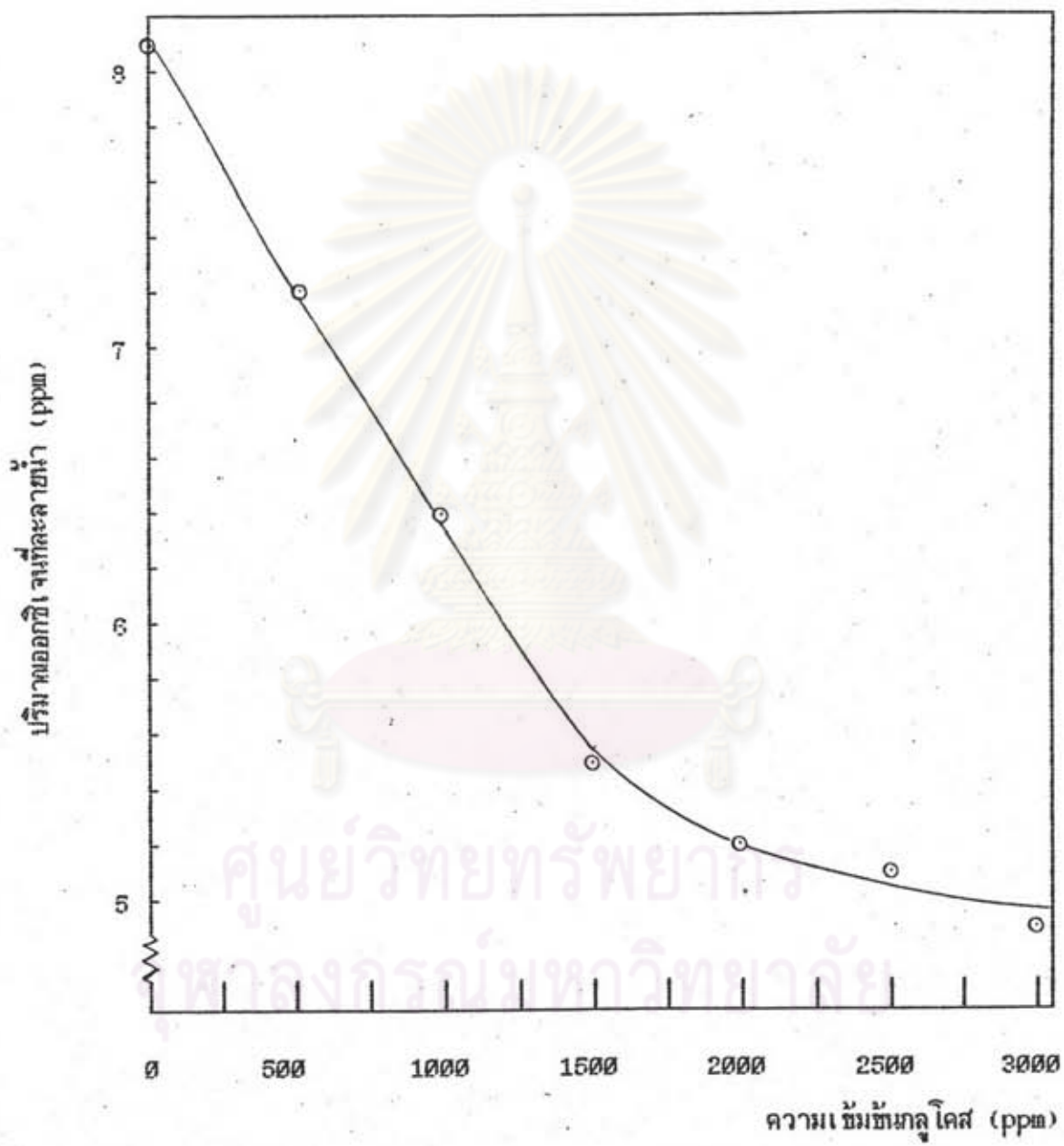
กลูโคส 150 ppm ในปริมาตร 40 ลบ.ซม. มีกลูโคสปริมาณ 3.3x10<sup>-5</sup> มิล ที่อุณหภูมิ 35 °C มีออกซิเจนละลายอยู่ 7.0 ppm (18) มีออกซิเจนทั้งหมด 9x10<sup>-6</sup> มิล

จะเห็นได้ว่าเมื่อวัดกลูโคสที่ความเข้มข้น 150 ppm 10 นาที เกิดกราฟ 100 นาโนแอมป์ มีกลูโคสเกิดปฏิกิริยาระบماณ 1 ใน 1000 ส่วนของกลูโคสที่มีอยู่ และปริมาณออกซิเจนถูกใช้ไปเนียง 1 ใน 280 ส่วนของที่มีอยู่ แทนไม่มีผลต่อบริมาณออกซิเจนที่เหลืออยู่เลย  $H_2O_2$  ที่เกิดขึ้นส่วนใหญ่ละลายอยู่ในเนื้อสารละลาย มีส่วนหนึ่งไปเกิดปฏิกิริยาที่ช้าอิเล็กโทรต

เมื่อวัดปริมาณออกซิเจนที่ละลายอยู่ขณะวัดกลูโคส พบว่าไม่มีการเปลี่ยนแปลงปริมาณออกซิเจนที่ละลายอยู่ในสารละลายเลย

### 3.2.12 การวัดปริมาณกลูโคสโดยใช้ออกซิเจนอิเล็กโทรต

ศึกษาผลการวัดปริมาณกลูโคสโดยใช้ออกซิเจนอิเล็กโทรตตามแผนการทดลองในหัวข้อ 2.3.2.12 ที่อุณหภูมิห้องประมาณ 25 °C พบว่าสามารถใช้ออกซิเจนอิเล็กโทรตวัดปริมาณกลูโคสได้ ให้ผลที่มีความสัมพันธ์เป็นเส้นตรงระหว่างออกซิเจนที่ละลายน้ำกับปริมาณกลูโคสในช่วงความเข้มข้นกลูโคสตั้งแต่ 0 ถึง 1500 ppm ตามรูปที่ 3.22 แสดงว่าปริมาณออกซิเจนที่ละลายอยู่ไม่ใช้เป็นมาสำคัญในการวัดกลูโคสในช่วงความเข้มข้น 0 ถึง 150 ppm เลย sensitivity ของ การใช้ออกซิเจนอิเล็กโทรตมีน้อยมากเมื่อเทียบกับ  $H_2O_2$  อิเล็กโทรต จึงไม่ต้องหมายกับ การใช้งานที่มีการวัดปริมาณกลูโคสน้อย ๆ หรือวัดอย่างละเอียด เวลาแสดงสัญญาณประมาณ 2 ถึง 3 นาที



รูปที่ 3.22 การเฝ้าครรภานะระหว่างปริมาณออกซีเจนที่ละลายน้ำกับความเข้มข้นกลุ่มละออง微粒



### 3.2.13 ผลการวัดปริมาณกลูโคสโดยใช้อุปกรณ์ควบคุมการทดสอบ

เนื่องจากว่าการเปลี่ยนแปลงของปริมาณออกซิเจนในระบบเปิดปริมาตร 40 ลบ.ซม. เมื่อวัดเป็นเวลา 10 นาที มีเนียง 1 ใน 280 ส่วน และการกวนที่ร้อนต่ำมากให้ผลแตกต่าง เล็กน้อยเทียบกับที่ร้อนความเร็วสูง จึงทดลองสร้างอุปกรณ์ควบคุมการทดสอบมีปริมาตรประมาณ 1.8 ลบ.ซม. ใช้การทดสอบโดยการทุบด้วยแรงลม พบว่าสามารถใช้วัดปริมาณกลูโคสได้ดี มีความล้มเหลวเป็นเล้นตรั้งระหว่างปริมาณกลูโคสกับกระแสไนโตรท่ออ่านได้ตั้งแต่ 0 ถึงประมาณ 220 ppm sensitivity ของการวัดและเวลาแสดงสัญญาณเดินอยู่ 1 กับการวัดโดยใช้แบบเดิม ลักษณะสัญญาณที่บริเวณ steady state นั้นกว่าแม้จะเป็นการวัดกลูโคสที่ความเร็วสูง ก็ให้อ่านสัญญาณง่ายกว่าแบบเดิม ประยุกต์ปริมาณน้ำเฟอร์กัวร์กว่าเล็กน้อย จะใช้น้ำเฟอร์ตัวอย่าง ละประมาณ 30 ลบ.ซม. ในการล้างช่องห้องการทดสอบแต่ละครั้ง แต่มือเสียเบรียบคือ ใช้เวลาล้างอิเล็กโทรดให้เข้าสู่ค่าศูนย์นานกว่าแบบเดิม แบบนี้ใช้เวลาตั้งแต่ 3 ถึง 5 นาที แบบเดิมใช้เวลาประมาณ 1 ถึง 2 นาที ตามรูปที่ 3.23 ถึง 3.28

### 3.2.14 เสถียรภาพในการเก็บผ้าในคลอนทริง GOx

ศึกษาเสถียรภาพในการเก็บผ้าในคลอนทริง GOx ตามแผนการทดลองในข้อ 2.3.2.14 พบว่าเมื่อเก็บไว้เป็นเวลา 7 เดือน ที่อุณหภูมิ 4 °C ที่ไม่เชื่อมต่อ ฯ ตามรูปที่ 3.29 เหลือแอดดิติฟิตตามตารางที่ 3.14

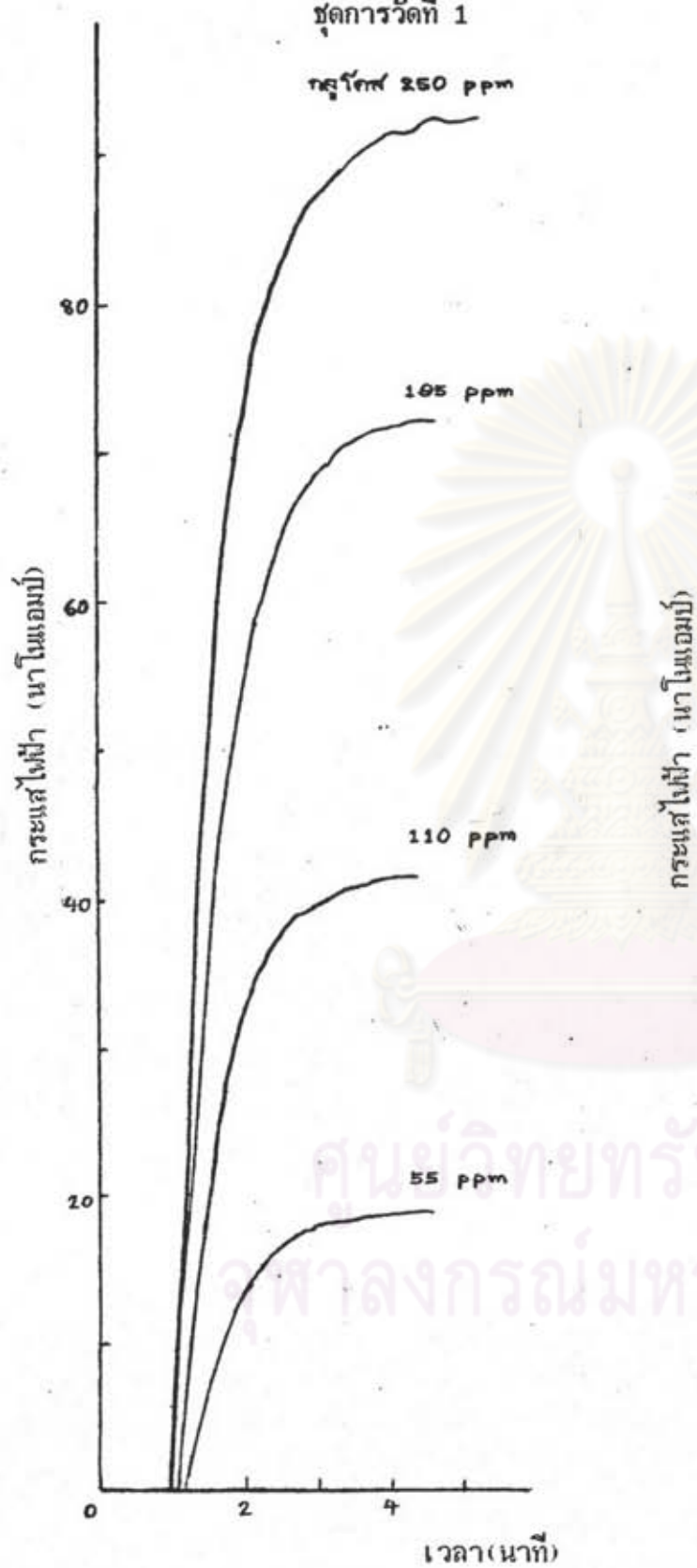
ตารางที่ 3.14 เสถียรภาพในการเก็บผ้าในคลอนทริง GOx ที่ไม่เชื่อมต่อ ฯ

นิ.เอกสาร	แหล่งแอดดิติฟ
5	63 %
6	62 %
7	70 %

ชุดการวัดที่ 1

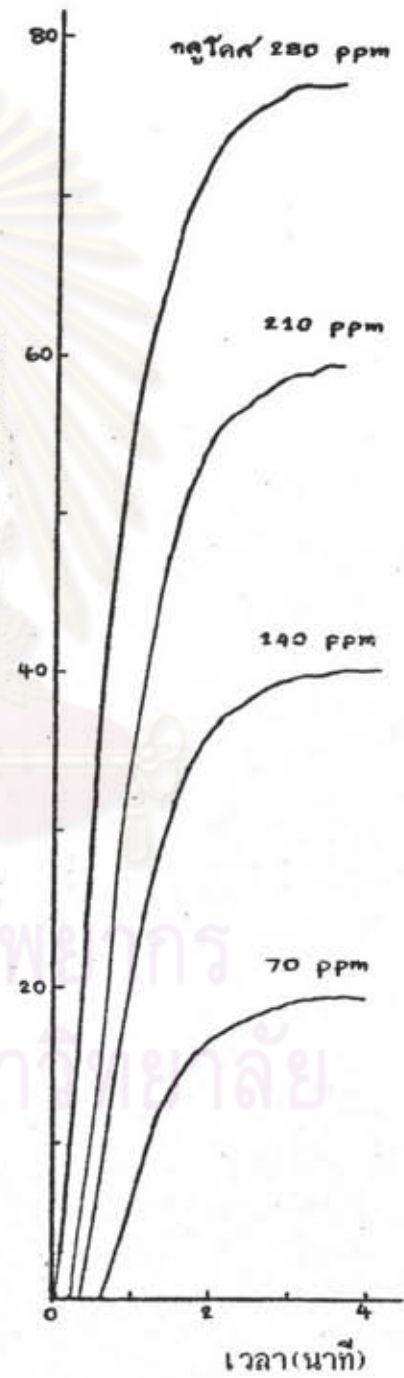
54

กําจูด 250 ppm



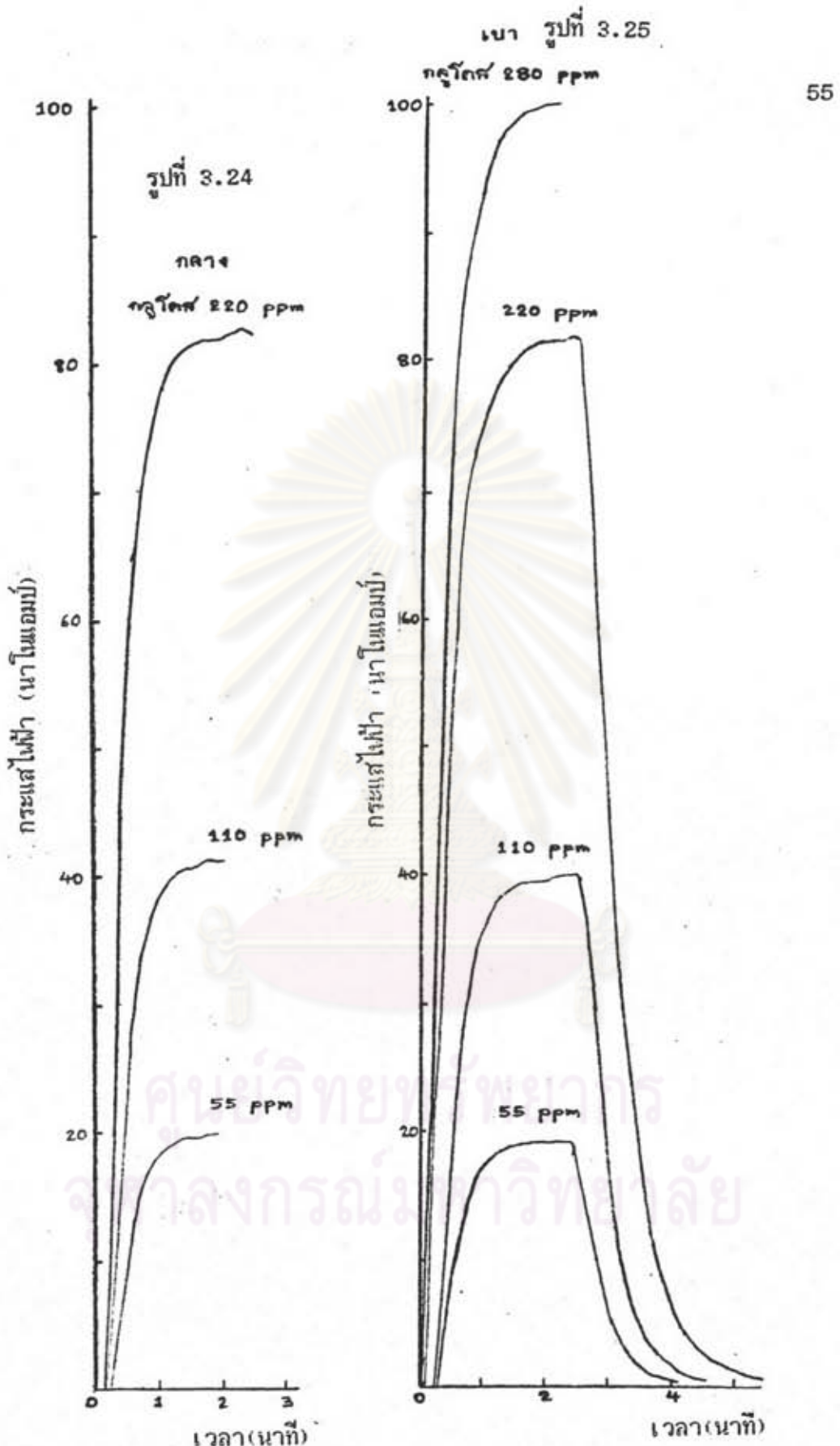
ชุดการวัดที่ 2

กําจูด 280 ppm

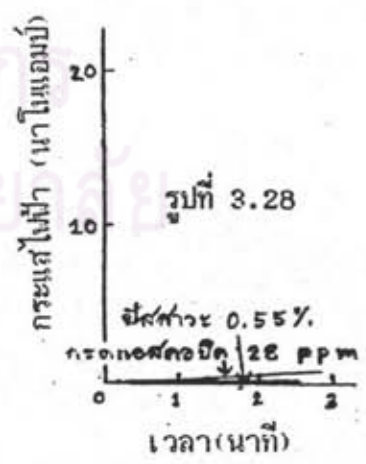
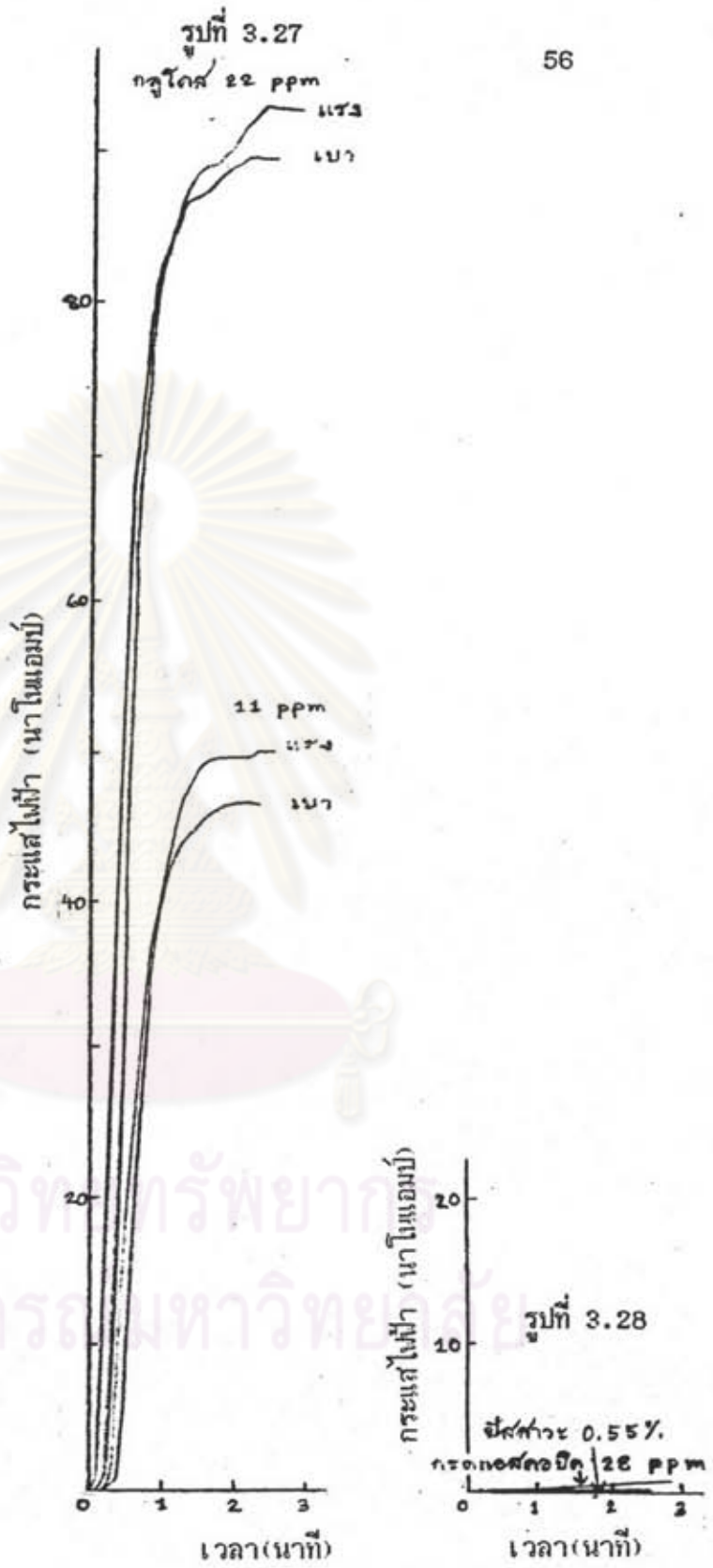
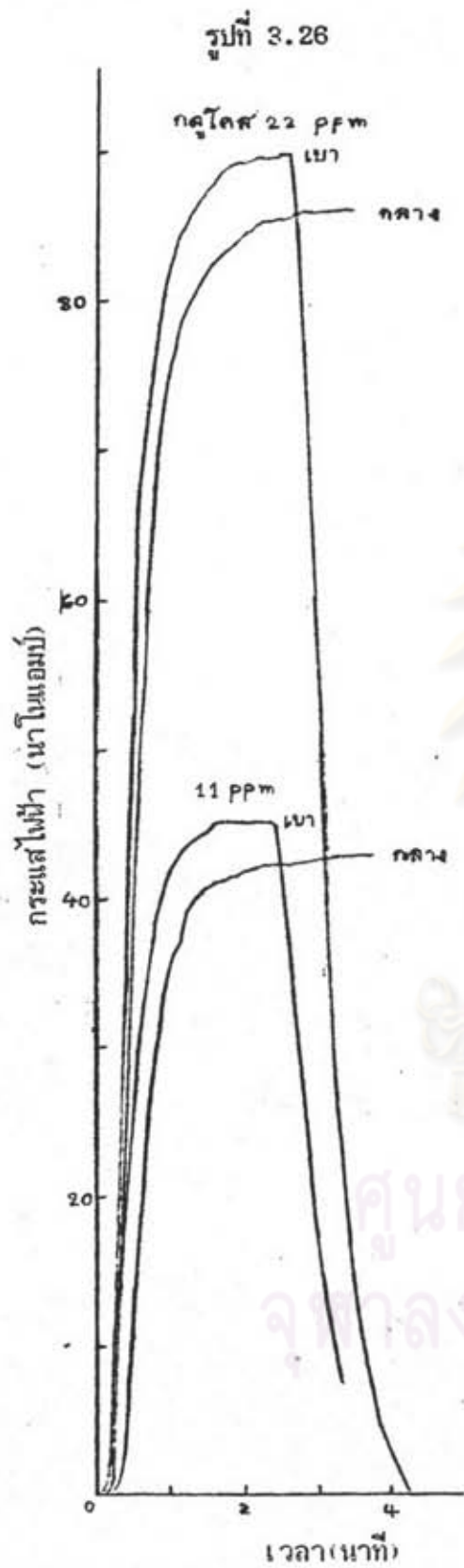


รูปที่ 3.23 ผลการวัดปริมาณกําจูด โคสโธไซ ใช้อุปกรณ์ควบคุมการผสม

หมายเหตุ ติดตัวย่าง CA ต่างแผ่นกันในต่างชุดของการวัด



รูปที่ 3.24 ผลการวัดปริมาณกลูโคสโดยใช้อุปกรณ์ควบคุมการผสมเมื่อใช้แรงลมกระทุบปานกลาง  
รูปที่ 3.25 ผลการวัดปริมาณกลูโคสโดยใช้อุปกรณ์ควบคุมการผสมเมื่อใช้แรงลมกระทุบเบา



รูปที่ 3.26 ผลการวัดปริมาณกลูโคสที่รับดับความเข้มข้นต่ำโดยใช้อุปกรณ์ควบคุมการผสมเมื่อใช้แรงลมกระทุบเบาและกลาง

รูปที่ 3.27 ผลการวัดปริมาณกลูโคสที่รับดับความเข้มข้นต่ำโดยใช้อุปกรณ์ควบคุมการผสมเมื่อใช้แรงลมกระทุบแรงและเบา

รูปที่ 3.28 ผลการวัดสารน้ำกวนโดยใช้อุปกรณ์ควบคุมการผสม

เมื่อเก็บไว้ที่อุณหภูมิห้อง นีโอซ 7 เป็นเวลาต่าง ๆ ตามรูปที่ 3.30 เหลือ  
แอคติวิตี้ตามตารางที่ 3.15

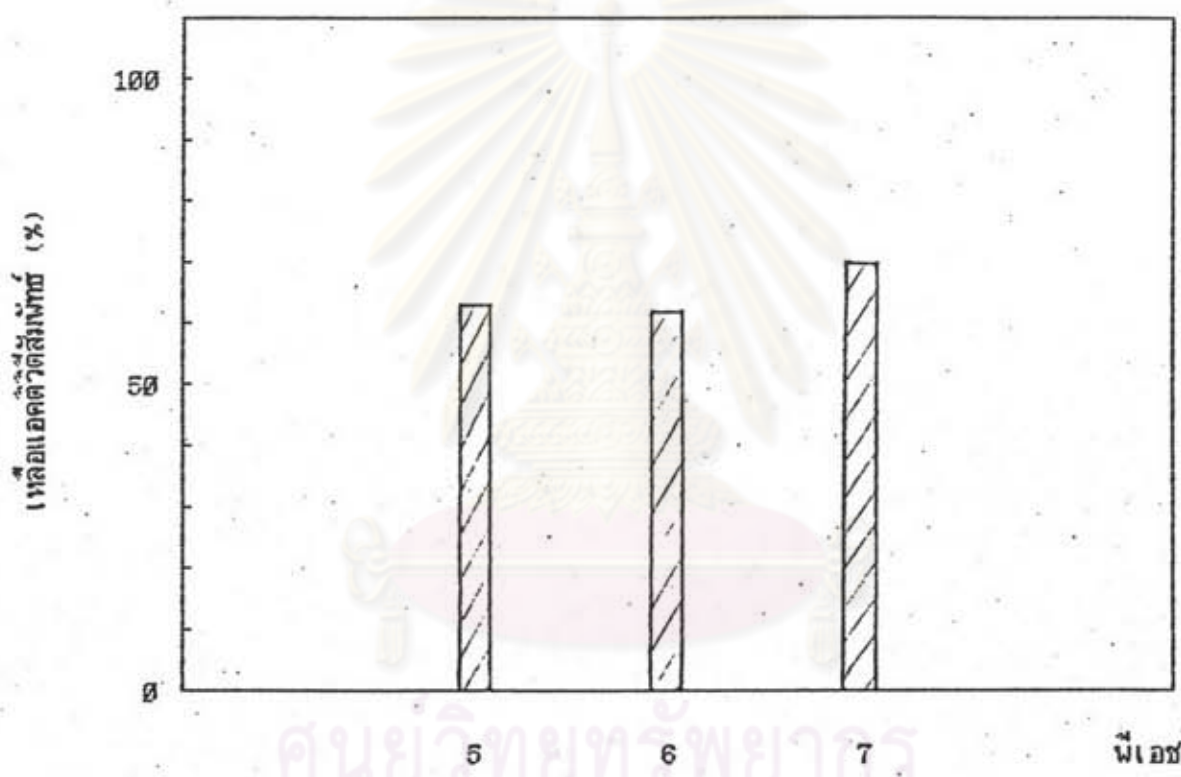
ตารางที่ 3.15 เสถียรภาพในการเก็บผ้าในกลอนเติง COX ที่อุณหภูมิห้อง

เวลา (เดือน)	เหลือแอคติวิตี้
1	66 %
5	40 %

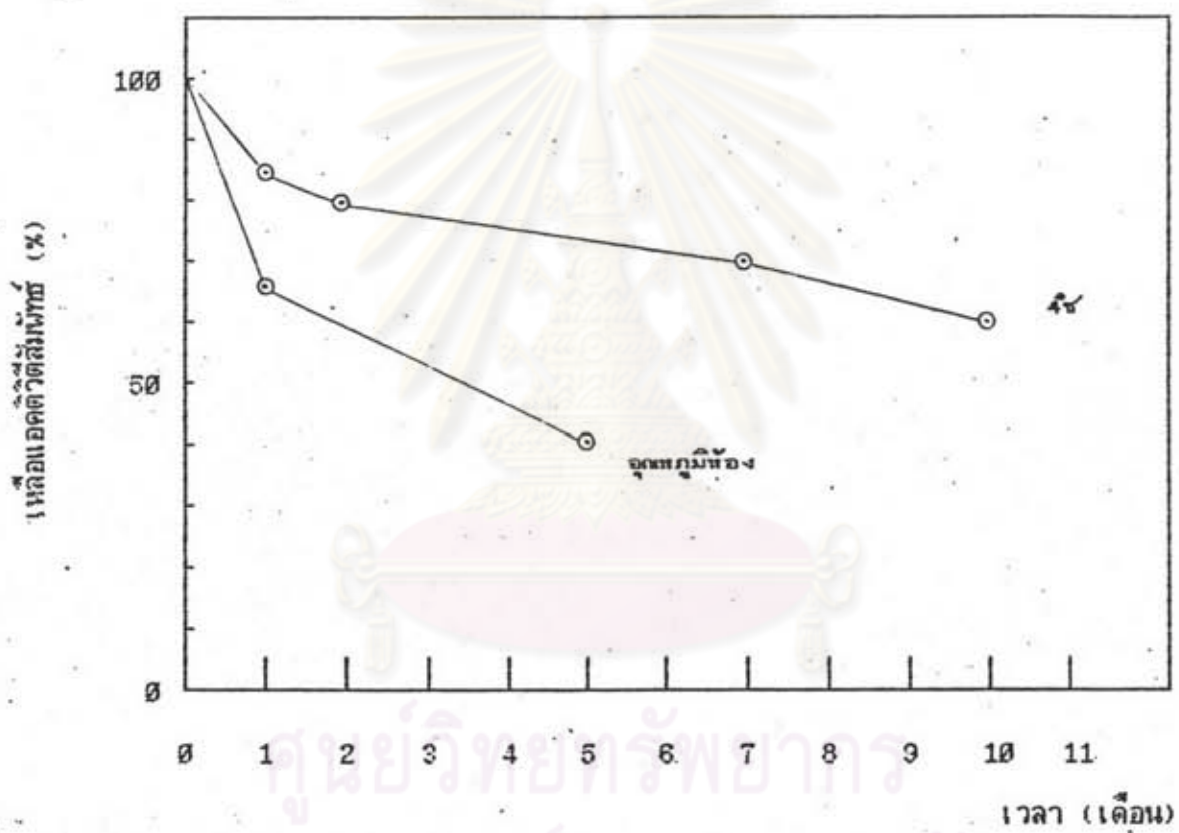
เมื่อเก็บไว้ที่อุณหภูมิ 4 °ช นีโอซ 7 เป็นเวลาต่าง ๆ ตามรูปที่ 3.30 เหลือ  
แอคติวิตี้ตามตารางที่ 3.16

ตารางที่ 3.16 เสถียรภาพในการเก็บผ้าในกลอนเติง COX ที่อุณหภูมิ 4 °ช

เวลา (เดือน)	เหลือแอคติวิตี้
1	85 %
2	80 %
7	70 %
10	60 %



รูปที่ 3.29 เส้นผ่าศูนย์กลางรากต่อหน่วยยาวในการเก็บผ้าในล่องคริง COX ที่อุณหภูมิ 4 °C



รูปที่ 3.30 เส้นข่ายการค่าอุณหภูมิในการเก็บผ้าในล่อนดิริง GOx ที่เบอร์ 7